



HK32F39AxCxDxE 数据手册

版本：1.2.2

发布日期：2022-01-28

深圳市航顺芯片技术研发有限公司

<http://www.hsxp-hk.com>

前言

编写目的

本文档介绍了 HK32F39A 系列芯片的功能框图、存储器映射、外设接口、电器特性、管脚封装等，旨在帮助用户快速了解该系列芯片的特点及功能。

读者对象

本文适用于以下读者：

- 开发工程师
- 芯片测试工程师
- 芯片选型工程师

版本说明

本文档对应的产品系列为 HK32F39A 系列芯片。

修订记录

| 版本 | 日期 | 修订内容 |
|-------|------------|--|
| 1.0.0 | 2019-07-23 | 首次发布 |
| 1.1.0 | 2020-08-19 | 修改管脚定义中的 FSMC 部分 |
| 1.1.1 | 2020-12-24 | 更新 ADC, SAI 管脚定义 |
| 1.1.2 | 2021-01-26 | 更新 ADC, DAC 电气特性参数表格 |
| 1.1.3 | 2021-02-02 | 更新 Flash 特性 |
| 1.2.0 | 2021-03-18 | 添加上/下电复位特性的工作参数 |
| 1.2.1 | 2022-01-19 | 重新梳理了全文内容,做了大量内容结构上的调整,还更改了管脚定义等章节的内容。 |
| 1.2.2 | 2022-01-28 | 更新了“2.1 产品特性”及“3.16.2 BKP” |

目 录

| | |
|----------------------|----|
| 1 简介 | 1 |
| 2 产品概述..... | 2 |
| 2.1 产品特性..... | 3 |
| 2.2 器件一览表..... | 5 |
| 3 功能介绍..... | 7 |
| 3.1 结构框图..... | 7 |
| 3.2 存储器映射..... | 8 |
| 3.2.1 Flash | 9 |
| 3.2.2 SRAM..... | 9 |
| 3.2.3 CCM RAM | 9 |
| 3.3 协处理器..... | 10 |
| 3.4 Cache..... | 11 |
| 3.5 CRC 计算单元 | 11 |
| 3.6 FSMC | 11 |
| 3.7 NVIC..... | 12 |
| 3.8 EXTI..... | 16 |
| 3.9 复位 | 16 |
| 3.9.1 系统复位..... | 16 |
| 3.9.2 电源复位..... | 17 |
| 3.9.3 备份域复位..... | 17 |
| 3.10 时钟 | 17 |
| 3.10.1 时钟源..... | 17 |
| 3.10.2 时钟树..... | 18 |
| 3.11 Boot 模式..... | 18 |
| 3.12 供电方案..... | 19 |
| 3.13 电源监控器..... | 19 |
| 3.14 低功耗模式..... | 19 |
| 3.15 DMA | 20 |
| 3.16 RTC 和 BKP | 20 |
| 3.16.1 RTC | 20 |

| | |
|---------------------------|----|
| 3.16.2 BKP | 20 |
| 3.17 独立看门狗..... | 21 |
| 3.18 窗口看门狗..... | 21 |
| 3.19 System Tick 定时器..... | 21 |
| 3.20 基本定时器..... | 21 |
| 3.21 通用定时器..... | 21 |
| 3.22 高级定时器..... | 21 |
| 3.23 I2C 总线 | 22 |
| 3.24 USART..... | 22 |
| 3.25 SPI..... | 22 |
| 3.26 SDIO..... | 22 |
| 3.27 CAN..... | 23 |
| 3.28 USB | 23 |
| 3.29 GPIO | 23 |
| 3.30 ADC..... | 23 |
| 3.31 DAC..... | 24 |
| 3.32 模拟比较器..... | 24 |
| 3.33 温度传感器..... | 25 |
| 3.34 数字相机接口（DCMI） | 25 |
| 3.35 串行语音接口（SAI） | 25 |
| 3.36 QSPI Flash 接口..... | 25 |
| 3.37 TFT LCD 接口..... | 26 |
| 3.38 TRNG 模块 | 26 |
| 3.39 AES 模块..... | 26 |
| 3.40 HASH 模块 | 26 |
| 3.41 96 位 UID..... | 27 |
| 3.42 调试及跟踪接口..... | 27 |
| 4 电气性能指标..... | 28 |
| 4.1 最大绝对额定值..... | 28 |
| 4.1.1 极限电压特性..... | 28 |
| 4.1.2 极限电流特性..... | 28 |
| 4.1.3 极限温度特性..... | 28 |

| | |
|--------------------------------|----|
| 4.2 工作参数..... | 29 |
| 4.2.1 推荐工作条件..... | 29 |
| 4.2.2 低压检测..... | 29 |
| 4.2.3 上/下电复位特性..... | 29 |
| 4.2.4 内部参考电压..... | 30 |
| 4.2.5 工作电流特性..... | 30 |
| 4.2.6 HSE 时钟特性..... | 31 |
| 4.2.7 LSE 时钟特性..... | 32 |
| 4.2.8 HSI 时钟特性..... | 33 |
| 4.2.9 LSI 时钟特性..... | 33 |
| 4.2.10 PLL 特性..... | 33 |
| 4.2.11 GPIO 输入时钟..... | 33 |
| 4.2.12 Flash 存储器特性..... | 34 |
| 4.2.13 IO 输入引脚特性..... | 34 |
| 4.2.14 IO 输出引脚特性..... | 34 |
| 4.2.15 NRST 复位管脚特性..... | 35 |
| 4.2.16 TIM 计数器特性..... | 35 |
| 4.2.17 ADC 特性..... | 35 |
| 4.2.18 DAC 特性..... | 36 |
| 4.2.19 温度传感器特性..... | 37 |
| 5 典型电路..... | 38 |
| 6 管脚定义..... | 39 |
| 6.1 LQFP64 封装..... | 39 |
| 6.2 LQFP100 封装..... | 40 |
| 6.3 LQFP64/LQFP100 的管脚定义..... | 40 |
| 6.4 OSC_IN/OSC_OUT 复用功能说明..... | 45 |
| 7 封装参数..... | 46 |
| 7.1 LQFP64 封装..... | 46 |
| 7.2 LQFP100 封装..... | 47 |
| 8 订货信息..... | 50 |
| 9 缩略语..... | 51 |

| | |
|--------------|----|
| 10 重要提示..... | 53 |
|--------------|----|

1 简介

本文档为 HK32F39A 系列芯片的数据手册。HK32F39A 系列芯片是由深圳市航顺芯片技术研发有限公司研发的低功耗 MCU 芯片，包括 HK32F39AxC、HK32F39AxD 和 HK32F39AxE 子系列，具体型号如下：

- HK32F39ARCT6
- HK32F39AVCT6
- HK32F39ARDT6
- HK32F39AVDT6
- HK32F39ARET6
- HK32F39AVET6

用户可以查看《HK32F39AxCx Dx E 用户手册》，进一步了解 HK32F39A 的功能。

2 产品概述

HK32F39A 使用 ARM® Cortex®-M3 内核，最高工作频率为 120 MHz，支持一级 1 KByte 指令 Cache 缓存。HK32F39A 内置了航顺自主研发的协处理器，可实现 ARM® Cortex®-M4 内核支持的算术指令中的绝大部分，包括 32 位单精度浮点运算；此外，协处理器支持多种自定义的 32 位及 64 位算术运算。

HK32F39A 内置了大容量存储器：527 KByte Flash、64KByte SRAM、32KByte 紧耦合 SRAM 和 1KByte Cache。此外，通过 FSMC 模块可外挂最多 1 GB 容量的外部静态存储器，其中 256 MByte 的空间可以存放指令，并可用于片内 1 KByte 指令 Cache 缓存。通过 QSPI 模块外挂 256 MByte 容量的 NOR Flash 存储器，可存放指令，并且可用于片内 1 KByte 指令 Cache 缓存。

HK32F39A 内置了 AES、HASH 和 TRNG 真随机数发生器，用于数据加解密及数字签名等应用；内置的 CRC 模块支持数据完整性的检查。

HK32F39A 通过内置的数字照相机接口（DCMI）、4 路 TFT 接口和 2 个 DMA 模块（共 12 路 DMA 通道）可实现数字图像视频从捕获、运算处理到显示的单芯片解决方案。

HK32F39A 内置了串行音频接口 SAI，支持当前大多数的音频接口协议。

HK32F39A 内置 2 个高级 16 位定时器（共 8 路 PWM 输出，其中 6 路带死区互补输出），4 个通用 16 位定时器（共 16 路 PWM 输出），2 个基本 16 位定时器。2 个高级定时器与内置的 4 路电压比较器（VC）片内互连，可为客户节省电机方案中板级电压比较器及相关电路。

HK32F39A 提供独立的 VBAT 电池电源域。当 V_{DD} 主电源掉电时，RTC 模块可在 V_{BAT} 电源供电下继续工作。

HK32F39A 内置了丰富的模拟电路：3 个 12 位 ADC（共 25 路模拟信号输入通道，其中 2 路弱驱动信号输入通道和 1 路 5 V 高压信号输入通道）、2 个 12 位 DAC、1 个温度传感器、1 个 0.8 V 内部参考电压源、1 个低电压检测器（LVD）、1 个上/下电复位（POR/PDR）电路和 1 个 V_{BAT} 电源电阻分压器（分压器输出在片内与 ADC 相连）。

HK32F39A 支持丰富的功耗模式；在最低功耗模式下，芯片的典型漏电电流小于 100 nA。HK32F39A 工作于 -40°C 至 +105°C 的温度范围，供电电压 2.0V 至 3.6V，可满足绝大部分应用环境条件的要求。

HK32F39AxC、HK32F39AxD 和 HK32F39AxE 子系列产品均包括 64 脚和 100 脚两种封装形式；根据不同的封装形式，器件的外设配置有所不同。

由于拥有丰富的外设配置，HK32F39A 可适用于多种应用场景：

- 工业应用，如可编程控制器、打印机、扫描仪等
- HMI 人机音视频多媒体交互
- 图形显示设备，如广告显示
- 语音识别设备
- 安全监控设备
- 电机驱动和调速控制
- 物联网低功耗传感器终端，如运动手环等
- 无人机飞控、云台控制
- 玩具产品
- 家用电器
- 智能机器人
- 智能手表

2.1 产品特性

- ARM® Cortex®-M3 Core
 - 最高时钟频率：120 MHz
 - 24 位 System Tick 计时器
- 工作电压范围
 - 双电源域：主电源 V_{DD} 为 2.0 V ~ 3.6 V、备份电源 V_{BAT} 为 1.8 V ~ 3.6 V。
 - 当主电源掉电时，RTC 模块可继续工作在 V_{BAT} 电源下。
 - 当主电源掉电时， V_{BAT} 电源下提供 86 Byte 备份寄存器。
- V_{DD} 典型工作电流
 - 运行 (Run) 模式动态功耗：19.3 mA@120MHz@3.3V
 - 睡眠 (Sleep) 模式静态功耗：5.6 mA@120MHz@3.3V (唤醒时间：1 个机器时钟周期)
 - 停机 (Stop) 模式静态功耗：89.4 μ A@3.3V (唤醒时间：10 μ s)
 - 待机 (Standby) 模式静态功耗：3.3 μ A@3.3V (唤醒时间：150 μ s)
 - 关机 (Shutdown) 静态功耗：0.09 μ A @3.3V (唤醒时间：200 μ s)
- V_{BAT} 典型工作电流 (V_{DD} 掉电)
 - V_{BAT} RTC 模式功耗：2.6 μ A @3.3V
 - V_{BAT} 模式功耗：2.1 μ A @3.3V (RTC 关闭，备份寄存器保持)
- 算术运算协处理器
 - 实现 ARM® Cortex®-M4 内核支持的绝大部分算术指令。
 - 32 位单精度浮点运算
 - 支持多种自定义的 32 位及 64 位算术运算。
- DMA 控制器
 - 2 个独立 DMA 控制器：DMA1 和 DMA2
 - DMA1 提供 7 路通道
 - DMA2 提供 5 路通道
 - 支持 Timer、ADC、SPI、I2C、USART 等多种外设触发。
- 存储器
 - 527 KByte 的 Flash 存储器，包括主区 Flash 512 KByte，Information 空间 15 KByte。当 CPU 主频不高于 24 MHz 时，支持 0 等待总线周期，具有代码安全保护功能，可分别设置读保护和写保护。
 - 1 KByte CPU 指令 Cache 缓存
 - 最大 97 KByte 片内 SRAM
 - FSMC 模块可外挂 1 GB NOR/PSRAM/NAND/PC Card 存储器 (其中，256 MByte 的空间可以存放指令，可用于片内 Cache 缓存)。
 - QSPI 模块可外挂 256 MByte NOR Flash 存储器 (可存放指令，用于片内 Cache 缓存)。
 - 内置指令加解密功能，放在片内存储器和外挂存储器的指令可实现千芯千面的密文存储。
- 时钟
 - 外部 HSE：支持 4 ~ 32 MHz 晶振，典型 8 MHz 晶振
 - 外部 LSE：32.768 kHz 晶振
 - 芯片上的 HSI 时钟：56 MHz/28MHz/8 MHz

- 芯片上的 LSI 时钟：40 kHz
- PLL 时钟
- 复位
 - 外部管脚复位
 - 电源复位
 - 软件复位
 - 看门狗（IWDG 和 WWDG）定时器复位
 - 低功耗管理复位
- 安全加密
 - TRNG 真随机数发生器
 - 128/192/256 位密钥长度可配的 AES
 - HASH（SHA-256）
 - CRC32
- 数据通讯接口
 - 6 路 USART
 - 3 路 SPI（均支持 I2S 协议）
 - 2 路 I2C
 - 1 路 SDIO
 - 2 路 CAN 2.0 A/B
 - 1 路全速（FS）USB device
- 音视频数据接口
 - 1 个数字照相机接口（DCMI）
 - 4 个 TFT 接口
 - 1 个串行音频接口（SAI），包括 2 个独立的音频协议处理模块
- 定时器及 PWM 发生器
 - 高级定时器：TIM1/TIM8（6 路带死区互补 PWM 输出）
 - 通用定时器：TIM2/TIM3/TIM4/TIM5（16 位定时器）
 - 基本定时器：TIM6/TIM7（支持 CPU 中断、DMA 请求和 DAC 转换触发）
- 低电压检测（PVD）
 - 8 级检测电压门限可调
 - 上升沿和下降沿可配置
- 片内模拟外设
 - 3 个 12 位 3 Msps ADC（共 25 路模拟信号输入通道；其中 2 路弱驱动信号输入通道和 1 路 5 V 高压信号输入通道）；支持双 ADC dual-mode 模式，采样率最高 6 Msps。
 - 2 个 12 位 DAC
 - 1 个温度传感器
 - 1 个 0.8 V 内部参考电压源
 - 1 个 V_{BAT} 电源电阻分压器（分压器输出在片内与 ADC 相连，实现 V_{BAT} 电源电压监控）
 - 4 路 VC 电压比较器（与片内 2 个高级 PWM 定时器互连，可为用户节省电机方案中板级 VC 电压比较器及相关电路）

- ID 标识
 - 每颗 HK32F39A 芯片提供一个唯一的 96 位 ID 标识
 - 航顺品牌识别 ID
- 调试及跟踪接口
 - SW-DP 两线调试端口
 - JTAG 五线调试端口
 - ARM DWT、FPB、ITM、TPIU 调试追踪模块
 - 单线异步跟踪数据输出接口 (TRACESWO)
 - 四线同步跟踪数据输出接口 (TRACED[3:0], TRACECK)
 - 自定义 DBGMCU 调试控制器 (低功耗模式仿真控制、调试外设时钟控制、调试及跟踪接口分配)。
- 通用输入输出端口 (GPIO)
 - 64 脚 MCU 提供 51 个 GPIO 引脚, 100 脚 MCU 提供 80 个 GPIO 引脚
 - 所有 GPIO 引脚可配置为外部中断输入
 - 内置可开关的上、下拉电阻
 - 支持开漏 (Open-Drain) 输出
 - 支持施密特 (Schmitt) 迟滞输入
 - 输出驱动能力超高、高、中、低四档可选
 - 提供最高 40 mA 驱动电流
- RTC 时钟计数器, 配合软件记录年月日时分秒
- 可靠性
 - 通过 HBM3000V/CDM500V/MM200V/LU 等级测试
- 工作温度范围: -40°C ~ 105°C

2.2 器件一览表

表 2-1 HK32F39A 系列芯片特性

| 产品特性 | HK32F39A RCT6 | HK32F39A RDT6 | HK32F39A RET6 | HK32F39A VCT6 | HK32F39A VDT6 | HK32F39A VET6 |
|----------|------------------|------------------|------------------|------------------|------------------|------------------|
| CPU 工作频率 | 120 MHz | | | | | |
| Flash | 256 KByte | 384 KByte | 527 KByte | 256 KByte | 384 KByte | 527 KByte |
| SRAM | 64 KByte | | | | | |
| CCM RAM | 32 KByte | | | | | |
| 协处理器 | 1 | | | | | |
| Cache | 1 KByte | | | | | |
| DMA | 2 | | | | | |
| AES | 1 | | | | | |
| Hash | 1 | | | | | |
| TRNG | 1 | | | | | |
| CRC32 | 1 | | | | | |
| FSMC | -(1) | - | - | 1 | 1 | 1 |
| TFT | - | - | - | 4 | 4 | 4 |

| 产品特性 | HK32F39A RCT6 | HK32F39A RDT6 | HK32F39A RET6 | HK32F39A VCT6 | HK32F39A VDT6 | HK32F39A VET6 |
|------------|---|------------------|------------------|------------------|------------------|------------------|
| QSPI | 1 | | | | | |
| DCMI | 1 | | | | | |
| SDIO | 1 | | | | | |
| I2C | 2 | | | | | |
| USB | 1 | | | | | |
| CAN | 2 | | | | | |
| USART | 6 | | | | | |
| SPI/I2S | 3 | | | | | |
| 高级定时器 | 2 | | | | | |
| 通用定时器 | 4 | | | | | |
| 基本定时器 | 2 | | | | | |
| GPIO | 51 | | | 80 | | |
| IWDG | 1 | | | | | |
| WWDG | 1 | | | | | |
| 96 位 ID 标识 | 1 | | | | | |
| PVD | 1 | | | | | |
| ADC | 3 | | | | | |
| DAC | 2 | | | | | |
| 温度传感器 | 1 | | | | | |
| 电压比较器 | 4 | | | | | |
| 工作电压 | V _{DD} : 2.0 ~ 3.6 V V _{BAT} : 1.8 ~ 3.6 V | | | | | |
| 工作温度 | -40°C ~ +105°C | | | | | |
| 封装 | LQFP64 | | | LQFP100 | | |

说明：表 2-1 中的符号“-”表示不支持的特性。

3 功能介绍

3.1 结构框图

ARM® Cortex®-M3 处理器是嵌入式 32 位 RISC 处理器，它是一个高性能、低功耗的 MCU 平台，能提供卓越的计算性能和先进的中断系统响应。HK32F39A 拥有内置的 Cortex®-M3 内核，与 ARM 工具和软件兼容。

HK32F39A 的功能框图如下所示：

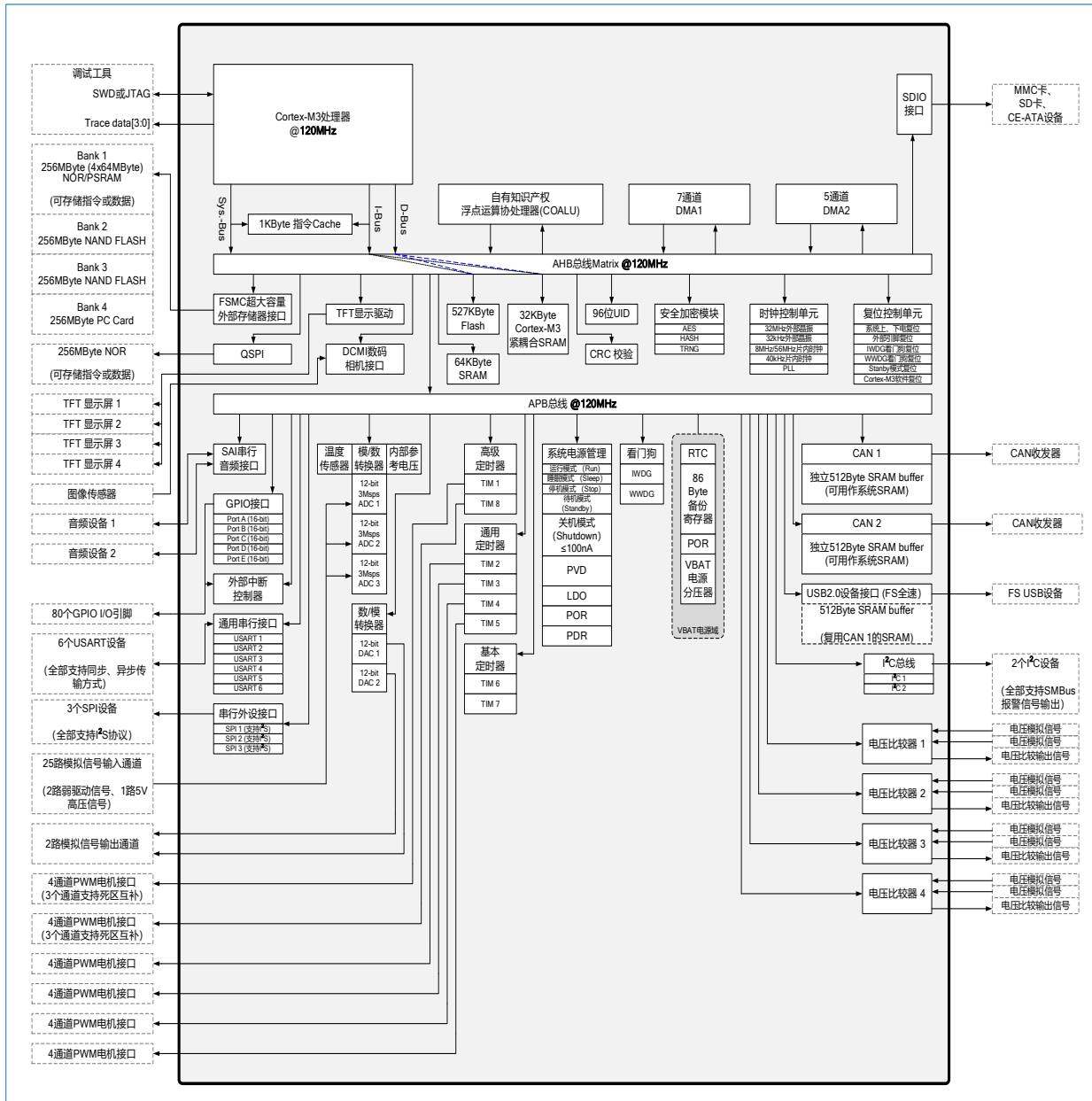


图 3-1 HK32F39A 的功能框图

3.2 存储器映射

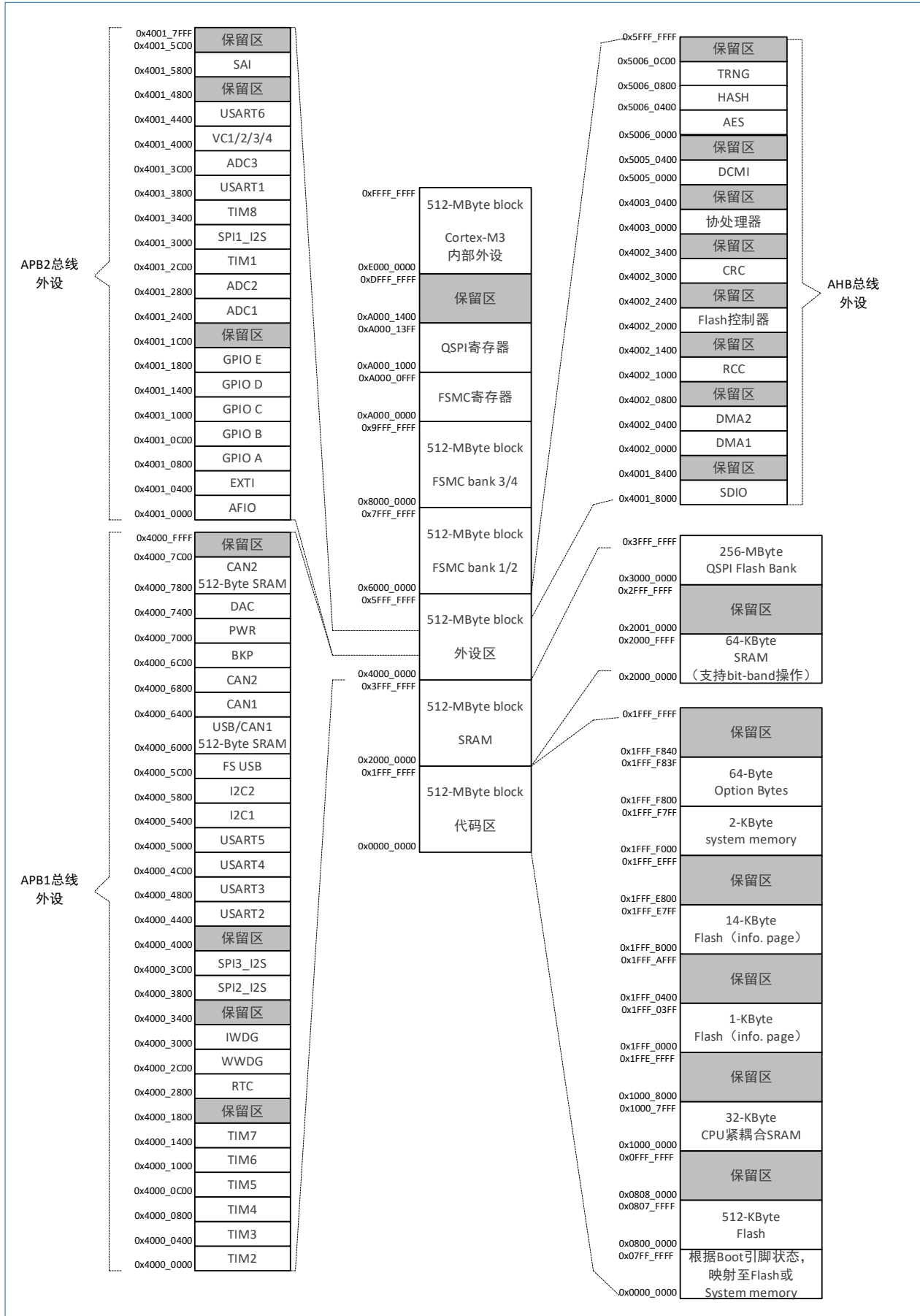


图 3-2 存储器映射表

3.2.1 Flash

HK32F39A 内部集成高达 527 KByte 的 Flash 存储器，用于存放程序和数据。Flash 包括两部分：主区 512 KByte；Information 区：15 KByte。

- Flash 数据位宽：128 位；页大小：2 KByte。
- Flash 访问位宽：支持半字（16 位）、字（32 位）、2 字（64 位）和 4 字（128 位）编程；128 位读。
- 支持 Flash 读/写保护访问控制。
- 集成预取指令 buffer 和数据 buffer。
- 集成 Flash 加解密模块，支持 Flash 指令自动加解密，保护片内软件知识产权（IP）。

表 3-1 Flash 特性

| 操作时间 | 读操作 | 擦除和编程操作 |
|------|---|---|
| | <ul style="list-style-type: none"> • 当 $HCLK \leq 24\text{ MHz}$，0 时钟周期等待； • 当 $24\text{ MHz} < HCLK \leq 48\text{ MHz}$，1 时钟周期等待； • $HCLK$ 频率每增加 24 MHz，等待周期数加 1。 | 编程操作： 约 42 μs （半字、字、2 字和 4 字编程的时间相同） 擦除操作： <ul style="list-style-type: none"> • 扇区擦除：约 3.7 ms • 页擦除：约 7.45 ms • 全片擦除：约 9 ms |
| 操作电压 | 2.0 V ~ 3.6 V | |
| 操作电流 | 编程操作：约 6 mA 擦除操作：约 2.2 mA | |
| 使用寿命 | 支持约 10 万次擦除和编写 | |

3.2.2 SRAM

内部集成 64 KByte SRAM。SRAM 可按字、半字和字节方式进行读写访问。CPU 能以零等待周期进行快速读写访问，能够满足大多数应用的需求。

3.2.3 CCM RAM

内部集成 32 KByte 内核耦合存储器（CCM RAM），逻辑地址空间为：0x10000000~0x10007FFF。CCM RAM 可按字、半字和字节方式进行读写访问，可被 I-BUS、D-BUS、DMA1 和 DMA2 访问。

总线矩阵如下图所示：

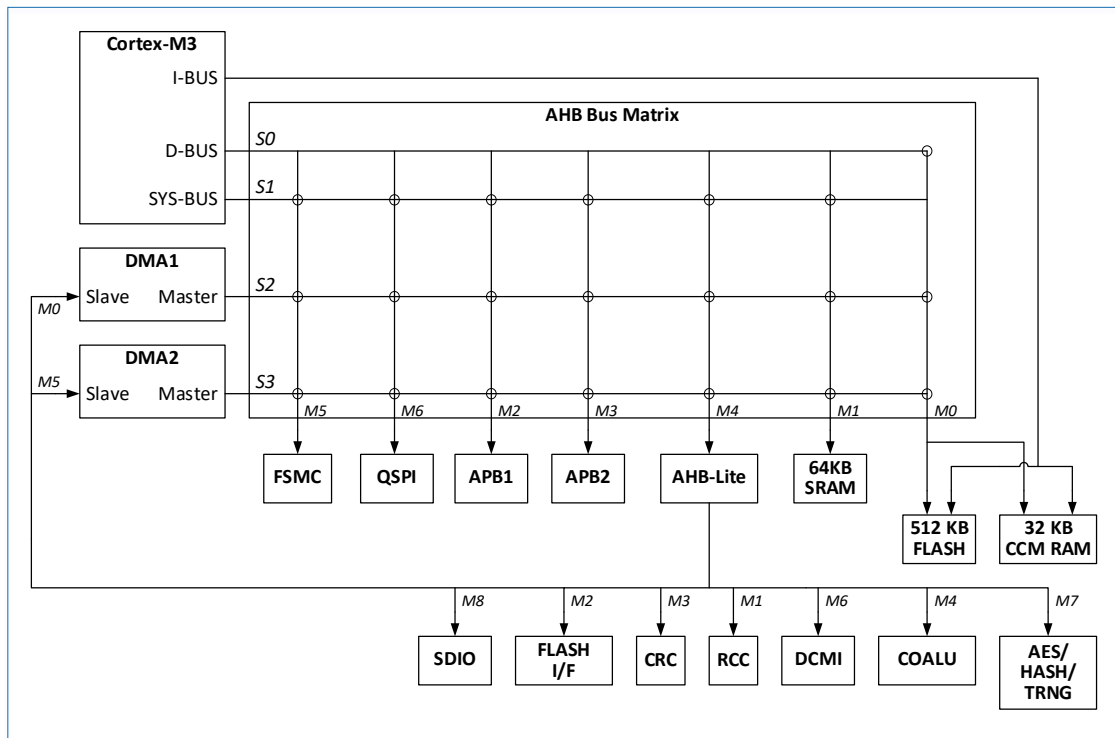


图 3-3 总线矩阵图

3.3 协处理器

HK32F39A 内置了航顺自主研发的协处理器，可实现 ARM® Cortex®-M4 内核支持的算术指令集中绝大部分指令，包括 32 位单精度浮点运算；此外，协处理器支持多种自定义的 32 位及 64 位算术运算，提高了芯片的运算能力并使其适应更多运算场景。

- 定点运算：
 - 64/32 位开方运算
 - 64/32 位除法运算
 - 饱和运算
 - 乘累加饱和运算
 - 32 位饱和加减运算
 - SIMD 饱和加减运算
 - 数据饱和化
 - SIMD 加减运算
 - 加减取半运算
 - 扩展加减运算
 - 乘累加运算和 SIMD 乘累加运算
- 浮点运算
 - 浮点加法运算
 - 浮点减法运算
 - 浮点乘法运算
 - 浮点除法运算
 - 浮点开方运算
 - 浮点乘累加运算

- 浮点数与定点数相互转换运算（包括 32 位定点数与浮点数相互转换、64 位定点数与浮点数相互转换）

3.4 Cache

HK32F39A 内部集成 1 KByte 高速指令缓存。

- 使用 8 组相联方式。
- Cache 使用“最近最少使用”替换策略。
- 内置 Cache 指令访问命中次数计数器，方便用户统计 Cache 命中率。
- 通过配置 Cache 控制寄存器，选择缓存哪种数据（Cache 可以缓存以下三种取指操作的数据）。同一时刻只能使能缓存一种取指访问数据。
 - I-Bus 从片内 Flash 取指
 - SYS-Bus 通过 QSPI 从外部 Flash 取指
 - SYS-Bus 通过 FSMC 从外部 Flash 取指

3.5 CRC 计算单元

循环冗余校验（Cyclic Redundancy Check, CRC）用于验证数据传输或数据存储的完整性。HK32F39A 内部集成了一个独立的 CRC 硬件计算单元。它使用一个固定的多项式发生器从一个 8 位/16 位/32 位的数据字中产生 CRC 码。

CRC 计算单元在运行期间计算出软件的签名，并将其和链接时所产生并存储于指定存储地址的参考签名进行比较。

3.6 FSMC

- 支持 1 GByte 外部静态存储器，支持类型包括：
 - 静态随机访问存储器（SRAM）
 - 只读存储器（ROM）
 - NOR Flash
 - PSRAM（4 个存储器块）
- 两个 NAND Flash 块，支持最多 8 Kbyte 数据的硬件 ECC 校验。
- 一个 16 位的 PC 卡接口
- 支持对同步器件的成组（Burst）访问模式，例如 NOR Flash 和 PSRAM。
- 8 或 16 位数据总线
- 每一个存储器块都有独立的片选控制。
- 每一个存储器块都可以独立配置。
- 使用 PSRAM 和 SRAM 器件时，支持写使能和字节片选输出
- 将 32 位宽 AHB 事务转换成连续的 16 位/8 位，访问 16 位/8 位的外部设备。
- 2 个字的写 FIFO，每个字为 32 位宽，允许在写入较慢存储器时释放 AHB 进行其它操作。在开始一次新的 FSMC 操作前，FIFO 要先被清空。FSMC 将插入等待周期直到当前的存储器访问完成。
- 支持外部存储器的异步等待控制逻辑。
- 支持对 16 位外部存储器进行写数据加密和读数据解密。
- 支持 Intel8080 模式和 Motorola6800 模式，可以灵活与各种 LCD 控制器连接。

3.7 NVIC

内置嵌套向量中断控制器（NVIC），该模块以最小的中断延迟提供灵活的中断管理功能。

- 紧耦合的 NVIC 能够实现低延迟的中断响应处理
- 中断向量入口地址直接进入内核
- 紧耦合的 NVIC 接口
- 允许中断的早期处理
- 处理晚到的较高优先级中断
- 支持中断尾部链接功能
- 自动保存处理器状态
- 中断返回时自动恢复，无需额外指令开销

HK32F39A 共有中断号为 0~70 的 71 个外部中断。

表 3-2 NVIC 表

| 位置 | 优先级 | 名称 | 描述 | 地址 | |
|----|-----|-----|--------------|---|-----------------------------|
| - | - | - | - | 保留 | 0x0000 0000 |
| - | -3 | 固定 | Reset | 复位（Reset） | 0x0000 0004 |
| - | -2 | 固定 | NMI | 非屏蔽中断 RCC 时钟安全系统（CSS）联接到 NMI 向量 （Non-maskable interrupt） | 0x0000 0008 |
| - | -1 | 固定 | HardFault | 所有类型错误（All class of fault） | 0x0000 000C |
| - | 0 | 可配置 | MemManage | 存储器管理 （Memory management） | 0x0000 0010 |
| - | 1 | 可配置 | BusFault | 预取指错误，存储器访问错误 （Pre-fetch instruction fault/Memory access fault） | 0x0000 0014 |
| | 2 | 可配置 | UsageFault | 未定义的指令或非法状态 （Undefined instruction and illegal state） | 0x0000 0018 |
| - | - | - | - | 保留 | 0x0000 001C- 0x0000 002B |
| - | 3 | 可配置 | SVCall | 通过 SWI 指令的系统服务调用 （System service call via SWI instruction） | 0x0000 002C |
| - | 4 | 可配置 | DebugMonitor | 调试监控器 | 0x0000 0030 |
| - | - | - | - | 保留 | 0x0000 0034 |
| - | 5 | 可配置 | PendSV | 可挂起的系统服务请求 （Pendable request for system service） | 0x0000 0038 |
| - | 6 | 可配置 | SysTick | 系统嘀嗒定时器 （System tick timer） | 0x0000 003C |
| 0 | 7 | 可配置 | WWDG | 窗口看门狗中断 （Window Watchdog interrupt） | 0x0000 0040 |
| 1 | 8 | 可配置 | PVD | 连到 EXT116 的电源电压检测（PVD）中断 （PVD through EXTI Line16 detection interrupt） | 0x0000 0044 |
| 2 | 9 | 可配置 | TAMPER | 侵入检测中断（Tamper interrupt） | 0x0000 0048 |
| 3 | 10 | 可配置 | RTC | RTC 全局中断 （RTC global interrupt） | 0x0000 004C |

| 位置 | 优先级 | | 名称 | 描述 | 地址 |
|----|-----|-----|----------------|---|-------------|
| 4 | 11 | 可配置 | FLASH | Flash 全局中断 (Flash global interrupt) | 0x0000 0050 |
| 5 | 12 | 可配置 | RCC | 复位和时钟控制 (RCC) 全局中断 (RCC global interrupt) | 0x0000 0054 |
| 6 | 13 | 可配置 | EXTI0 | 外部线 0 的中断 (EXTI Line0 interrupt) | 0x0000 0058 |
| 7 | 14 | 可配置 | EXTI1 | 外部线 1 的中断 (EXTI Line1 interrupt) | 0x0000 005C |
| 8 | 15 | 可配置 | EXTI2 | 外部线 2 的中断 (EXTI Line2 interrupt) | 0x0000 0060 |
| 9 | 16 | 可配置 | EXTI3 | 外部线 3 的中断 (EXTI Line3 interrupt) | 0x0000 0064 |
| 10 | 17 | 可配置 | EXTI4 | 外部线 4 的中断 (EXTI Line4 interrupt) | 0x0000 0068 |
| 11 | 18 | 可配置 | DMA1_Channel1 | DMA1 通道 1 全局中断 (DMA Channel1 global interrupt) | 0x0000 006C |
| 12 | 19 | 可配置 | DMA1_Channel2 | DMA1 通道 2 全局中断 (DMA Channel2 global interrupt) | 0x0000 0070 |
| 13 | 20 | 可配置 | DMA1_Channel3 | DMA1 通道 3 全局中断 (DMA Channel3 global interrupt) | 0x0000 0074 |
| 14 | 21 | 可配置 | DMA1_Channel4 | DMA1 通道 4 全局中断 (DMA Channel4 global interrupt) | 0x0000 0078 |
| 15 | 22 | 可配置 | DMA1_Channel5 | DMA1 通道 5 全局中断 (DMA Channel5 global interrupt) | 0x0000 007C |
| 16 | 23 | 可配置 | DMA1_Channel6 | DMA1 通道 6 全局中断 (DMA Channel6 global interrupt) | 0x0000 0080 |
| 17 | 24 | 可配置 | DMA1_Channel7 | DMA1 通道 7 全局中断 (DMA Channel7 global interrupt) | 0x0000 0084 |
| 18 | 25 | 可配置 | ADC1_2 | ADC1 和 ADC2 全局中断 (结合 EXTI24, EXTI25) (ADC1/ADC2 interrupt) (Combined with EXTI24, EXTI25) | 0x0000 0088 |
| 19 | 26 | 可配置 | USB_HP_CAN_TX | USB 高优先级或 CAN 发送中断 (USB high priority/CAN Tx interrupt) | 0x0000 008C |
| 20 | 27 | 可配置 | USB_LP_CAN_RX0 | USB 低优先级或 CAN 接收 0 中断 (USB low priority/CAN Rx0 interrupt) | 0x0000 0090 |
| 21 | 28 | 可配置 | CAN_RX1 | CAN 接收 1 中断 (CAN Rx1 interrupt) | 0x0000 0094 |
| 22 | 29 | 可配置 | CAN_SCE | CAN SCE 中断 (CAN SCE interrupt) | 0x0000 0098 |
| 23 | 30 | 可配置 | EXTI9_5 | EXTI 线[9:5]中断 (EXTI Line[9:5] interrupt) | 0x0000 009C |
| 24 | 31 | 可配置 | TIM1_BRK | TIM1 刹车中断 (TIM1 break interrupt) | 0x0000 00A0 |
| 25 | 32 | 可配置 | TIM1_UP | TIM1 更新中断 (TIM1 update interrupt) | 0x0000 00A4 |
| 26 | 33 | 可配置 | TIM1_TRG_COM | TIM1 触发和通信中断 (TIM1 trigger and Com interrupt) | 0x0000 00A8 |

| 位置 | 优先级 | | 名称 | 描述 | 地址 |
|----|-----|-----|--------------|---|-------------|
| 27 | 34 | 可配置 | TIM1_CC | TIM1 捕获/比较中断 (TIM1 Capture/Compare interrupt) | 0x0000 00AC |
| 28 | 35 | 可配置 | TIM2 | TIM2 全局中断 (TIM2 global interrupt) | 0x0000 00B0 |
| 29 | 36 | 可配置 | TIM3 | TIM3 全局中断 (TIM3 global interrupt) | 0x0000 00B4 |
| 30 | 37 | 可配置 | TIM4 | TIM4 全局中断 (TIM4 global interrupt) | 0x0000 00B8 |
| 31 | 38 | 可配置 | I2C1_EV | I2C1 事件中断 (I2C1 event interrupt) | 0x0000 00BC |
| 32 | 39 | 可配置 | I2C1_ER | I2C1 错误中断 (I2C1 fault interrupt) | 0x0000 00C0 |
| 33 | 40 | 可配置 | I2C2_EV | I2C2 事件中断 (I2C2 event interrupt) | 0x0000 00C4 |
| 34 | 41 | 可配置 | I2C2_ER | I2C2 错误中断 (I2C2 fault interrupt) | 0x0000 00C8 |
| 35 | 42 | 可配置 | SPI1 | SPI1 全局中断 (SPI1 global interrupt) | 0x0000 00CC |
| 36 | 43 | 可配置 | SPI2 | SPI2 全局中断 (SPI2 global interrupt) | 0x0000 00D0 |
| 37 | 44 | 可配置 | USART1 | USART1 全局中断 (USART1 global interrupt) | 0x0000 00D4 |
| 38 | 45 | 可配置 | USART2 | USART2 全局中断 (USART2 global interrupt) | 0x0000 00D8 |
| 39 | 46 | 可配置 | USART3 | USART3 全局中断 (USART3 global interrupt) | 0x0000 00DC |
| 40 | 47 | 可配置 | EXTI15_10 | EXTI 线[15:10]中断 (EXTI Line[15:10] interrupt) | 0x0000 00E0 |
| 41 | 48 | 可配置 | RTCAlarm | 连接到 EXTI17 的 RTC 闹钟中断 (RTC alarm through EXTI Line 17 interrupt) | 0x0000 00E4 |
| 42 | 49 | 可配置 | USBWakeUp | 连接到 EXTI18 的 USB 待机唤醒中断 (USB standby wake-up through EXTI Line 18 interrupt) | 0x0000 00E8 |
| 43 | 50 | 可配置 | TIM8_BRK | TIM8 刹车中断 (TIM8 break interrupt) | 0x0000 00EC |
| 44 | 51 | 可配置 | TIM8_UP | TIM8 更新中断 (TIM8 update interrupt) | 0x0000 00F0 |
| 45 | 52 | 可配置 | TIM8_TRG_COM | TIM8 触发和通信中断 (TIM8 trigger and Com/TIM14 global interrupt) | 0x0000 00F4 |
| 46 | 53 | 可配置 | TIM8_CC | TIM8 捕获比较中断 (TIM8 Capture/Compare interrupt) | 0x0000 00F8 |
| 47 | 54 | 可配置 | ADC3 | ADC3 全局中断 (包括 EXTI26) (ADC3 global interrupt) | 0x0000 00FC |
| 48 | 55 | 可配置 | FSMC | FSMC 全局中断 | 0x0000 0100 |

| 位置 | 优先级 | 名称 | 描述 | 地址 |
|----|-----|------------------------|---|-------------|
| | | | (FSMC global interrupt) | |
| 49 | 56 | 可配置 SDIO | SDIO 全局中断 (SDIO global interrupt) | 0x0000 0104 |
| 50 | 57 | 可配置 TIM5 | TIM5 全局中断 (TIM5 global interrupt) | 0x0000 0108 |
| 51 | 58 | 可配置 SPI3 | SPI3 全局中断 (SPI3 global interrupt) | 0x0000 010C |
| 52 | 59 | 可配置 USART4 | USART4 全局中断 (USART4 global interrupt) | 0x0000 0110 |
| 53 | 60 | 可配置 USART5 | USART5 全局中断 (USART5 global interrupt) | 0x0000 0114 |
| 54 | 61 | 可配置 TIM6 | TIM6 全局中断 (TIM6 global interrupt) | 0x0000 0118 |
| 55 | 62 | 可配置 TIM7 | TIM7 全局中断 (TIM7 global interrupt) | 0x0000 011C |
| 56 | 63 | 可配置 DMA2_Channel1 | DMA2 通道 1 全局中断 (DMA2 Channel1 global interrupt) | 0x0000 0120 |
| 57 | 64 | 可配置 DMA2_Channel2 | DMA2 通道 2 全局中断 (DMA2 Channel2 global interrupt) | 0x0000 0124 |
| 58 | 65 | 可配置 DMA2_Channel3 | DMA2 通道 3 全局中断 (DMA2 Channel3 global interrupt) | 0x0000 0128 |
| 59 | 66 | 可配置 DMA2_Channel4_5 | DMA2 通道 4 和通道 5 全局中断 (DMA2 Channel4/5 global interrupt) | 0x0000 012C |
| 60 | 67 | 可配置 QSPI | QSPI 中断 (QSPI interrupt) | 0x0000 0130 |
| 61 | 68 | 可配置 DCMI | DCMI 中断 (DCMI interrupt) | 0x0000 0134 |
| 62 | 69 | 可配置 COALU / AES | COALU/AES 中断 (COALU/AES interrupt) | 0x0000 0138 |
| 63 | 70 | 可配置 CAN2_TX | CAN2 发送中断 (CAN2 Tx interrupt) | 0x0000 013C |
| 64 | 71 | 可配置 CAN2_RX0 | CAN2 接收 0 中断 (CAN2 Rx0 interrupt) | 0x0000 0140 |
| 65 | 72 | 可配置 CAN2_RX1 | CAN2 接收 1 中断 (CAN2 Rx1 interrupt) | 0x0000 0144 |
| 66 | 73 | 可配置 CAN2_SCE | CAN2 的 SCE 中断 (CAN2 SCE interrupt) | 0x0000 0148 |
| 67 | 74 | 可配置 HASH | HASH 通用中断 (HASH interrupt) | 0x0000 014C |
| 68 | 75 | 可配置 EXTI23_20 | EXTI 线[23:20]连接至电压比较器 VC 的中断 (Voltage comparator through EXTI Line[23:20] interrupt) | 0x0000 0150 |
| 69 | 76 | 可配置 USART6 | USART6 全局中断 | 0x0000 0154 |

| 位置 | 优先级 | 名称 | 描述 | 地址 |
|----|-----|------------|---------------------------------|-------------|
| | | | (USART6 global interrupt) | |
| 70 | 77 | 可配置 SAI | SAI_IRQ 中断 (SAI_IRQ Handler) | 0x0000 0158 |

3.8 EXTI

外部中断/事件控制器包含 26 个边沿检测器,用于产生中断/事件请求,其中 EXTI0~EXTI15 连接 IO。

另外 10 根 EXTI 线的连接方式如下:

- EXTI 16 连接 PVD 输出
- EXTI 17 连接 RTC 的 Alarm 事件
- EXTI 18 连接 USB 的 Wakeup 事件
- EXTI 20 连接 VC1 的输出
- EXTI 21 连接 VC2 的输出
- EXTI 22 连接 VC3 的输出
- EXTI 23 连接 VC4 的输出
- EXTI 24 连接 ADC1 的 AWD 事件
- EXTI 25 连接 ADC2 的 AWD 事件
- EXTI 26 连接 ADC3 的 AWD 事件

EXTI 24~26 作为内部事件,不带 RTSR、FTSR、SWIER 和 PR 寄存器,仅能在 Stop 模式下采集事件的上升沿以产生 ERQ 和 IRQ 唤醒系统。

3.9 复位

HK32F39A 支持三种复位: 系统复位、电源复位、备份域复位。

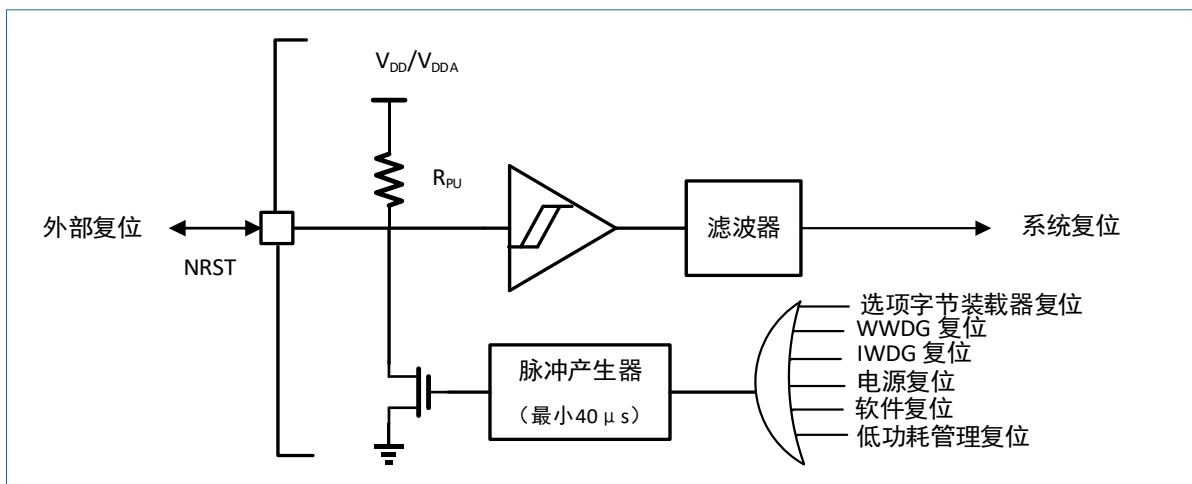


图 3-4 复位电路

3.9.1 系统复位

除了时钟控制器的 RCC_CSR 寄存器中的复位标志位和备份寄存器以外,系统复位将所有寄存器复位至它们的复位状态。可通过查看 RCC_CSR 控制状态寄存器中的复位状态标志位识别复位事件来源,参见表 3-3。

当发生以下任一事件时,将产生一个系统复位:

- NRST 引脚上的低电平（外部复位）
- 窗口看门狗计数终止（WWDG 复位）
- 独立看门狗计数终止（IWDG 复位）
- 软件复位（SW 复位）
- 低功耗管理复位

复位源将最终作用于 NRST 引脚，并在复位过程中保持低电平。复位入口矢量被固定在地址 0x0000 0004。

芯片内部的复位信号会在 NRST 引脚上输出，脉冲发生器保证每一个（外部或内部）复位源都能有至少 40 μs 的脉冲延时；当 NRST 引脚被拉低产生外部复位时，它将产生复位脉冲。

表 3-3 复位状态标志位

| | |
|---------|---|
| 软件复位 | 通过将 Cortex®-M3 中断应用和复位控制寄存器中的 SYSRESETREQ 位置为‘1’，可实现软件复位。 |
| 低功耗管理复位 | 在进入待机模式时产生低功耗管理复位。 通过将用户选择字节中的 nRST_STDBY 位置为‘1’，将使能该复位。此时，即使执行了进入待机模式的操作，系统将被复位而不是进入待机模式。 |
| | 在进入停止模式时产生低功耗管理复位。 通过将用户选择字节中的 nRST_STOP 位置为‘1’，将使能该复位。此时，即使执行了进入停机模式的操作，系统将被复位而不是进入停机模式。 |

3.9.2 电源复位

当以下事件中之一发生时，将产生电源复位：

- 上电/掉电（POR/PDR）复位
- 从待机模式中返回

电源复位将复位除了备份区域外的所有寄存器。

HK32F39A 内部集成了上电复位(POR)/掉电复位(PDR)电路，该电路始终处于工作状态，保证系统在供电超过 POR/PDR 阈值时工作。当 VDD 低于 POR/PDR 阈值时，置器件于复位状态，而不必使用外部复位电路。

3.9.3 备份域复位

备份区域拥有两个专用的复位，它们仅影响备份区域。当以下任一事件发生时，将触发备份区域复位。

- 软件复位：通过设置备份域控制寄存器（RCC_BDCR）中的 BDRST 位产生备份域复位。
- 在 V_{DD} 和 V_{BAT} 两者掉电后，V_{DD} 和（或）V_{BAT} 再上电时将触发备份域复位。

3.10 时钟

系统时钟的选择是在启动时进行，复位时内部 8 MHz 的 RC 振荡器被选为默认的 CPU 时钟，随后可选择外部的 4 ~ 32 MHz 时钟。当外部时钟失效时，外部时钟将被隔离，同时产生相应的中断。

HK32F39A 也提供 LSI、LSE、GPIO 输入作为时钟源，可以使用 PLL 倍频产生所需的时钟，便于产品应用于低功耗、低成本的设计方案。

HK32F39A 集成 CSS（Clock Security System）电路，检测的 HSE 频率阈值可调。

3.10.1 时钟源

表 3-4 时钟源

| | |
|---------|------------------------------------|
| HSI 振荡器 | 输出频率：56 MHz，可以分频为 28 MHz，8 MHz（默认） |
|---------|------------------------------------|

| | |
|-----------|---|
| | 精度：全温范围 $\pm 2\%$ |
| HSE 振荡器 | 支持 4 ~ 32 MHz 晶体 支持通过 OSC_IN 外部时钟输入，最高 64 MHz |
| PLL 时钟 | 输入时钟频率：2 ~ 56 MHz 输出时钟频率：30 ~ 120 MHz |
| LSI 时钟 | 30 ~ 60 kHz，典型值 40 kHz |
| LSE 时钟 | 支持 32.768 kHz 晶体 支持通过 OSC32_IN 外部时钟输入 32.768 kHz |
| GPIO 输入时钟 | PA1、PB1、PC7、PB7 最高支持输入 64 MHz |

3.10.2 时钟树

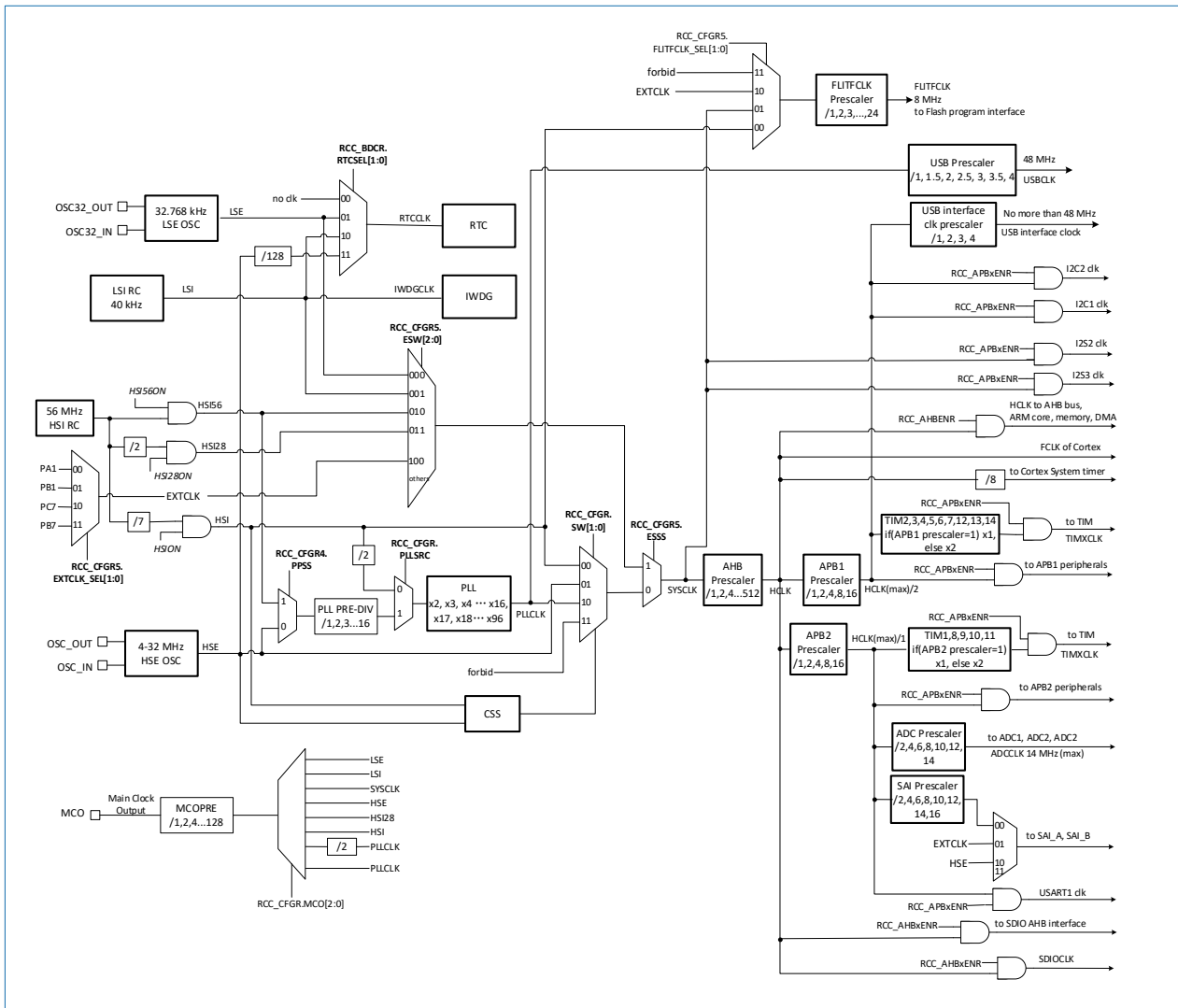


图 3-5 时钟树

说明：

- PLL 输入时钟：HSI8/2、HSI56/PREDIV 和 HSE/PREDIV 可选。
- SYSCLK：HSI8、HSI28、HSI56、HSE、PLL、LSI、LSE 或 GPIO 输入时钟可选，默认为 HSI8 时钟。
- FLITFCLK：HSI8、GPIO 输入时钟和 SYSCLK 可选。

3.11 Boot 模式

在启动时，自举管脚被用于选择以下任一种自举模式：

- 从用户 Flash 自举
- 从系统存储器自举
- 从内部 SRAM 自举

自举加载程序存放于系统存储器中，可以通过 USART1 对 Flash 重新编程。

3.12 供电方案

- $V_{DD} = 2.0 \sim 3.6V$: V_{DD} 管脚为 I/O 管脚和内部 LDO 供电。
- $V_{DDA} = 2.0 \sim 3.6V$: V_{DDA} 管脚为 ADC、温度传感器模拟部分供电。
- $V_{BAT} = 1.8 \sim 3.6V$: 当关闭 V_{DD} 时，内部电源切换电路将通过 V_{BAT} 为 RTC、外部 32 kHz 振荡器和备份寄存器供电。

3.13 电源监控器

HK32F39A 内部集成了上电复位 (POR) /掉电复位 (PDR) 电路，该电路始终处于工作状态，以保证系统在供电超过 POR/PDR 阈值 (见表 4-6) 时正常工作。当 V_{DD} 低于 POR/PDR 阈值时，置器件于复位状态，而不必使用外部复位电路。

HK32F39A 还集成了一个可编程电压监测器 (PVD)。PVD 监视 V_{DD} 供电并与阈值 V_{PVD} 比较，当 V_{DD} 低于或高于阈值 V_{PVD} 时将产生中断，中断处理程序可以发出警告信息或将 MCU 切换成安全模式。PVD 功能需要通过程序使能开启。

3.14 低功耗模式

HK32F39A 支持多种功耗模式，可以在低功耗、短启动时间和多种唤醒事件之间达到最佳的平衡。

- 睡眠 (Sleep) 模式

在睡眠模式下，只有 CPU 停止，所有外设处于工作状态，并可在发生中断/事件时唤醒 CPU。

- 停机 (Stop) 模式

在保持 SRAM 和寄存器内容不丢失的情况下，停机模式可以达到最低的电能消耗。在停机模式下，所有内部时钟被关闭，PLL、HSI 和 HSE 的 RC 振荡器被关闭。通过任一配置成 EXTI 的信号可把 MCU 从停机模式中唤醒，EXTI 信号源可以是任意一个 16 个外部 I/O 口、PVD 的输出、RTC 闹钟或 USB 的唤醒信号。

- 待机 (Standby) 模式

在待机模式下，可以达到极低的电能消耗。内部 LDO 被关闭，因此所有内部 1.2 V 供电域的供电被切断；PLL、HSI 和 HSE 的 RC 振荡器也被关闭；进入待机模式后，SRAM 和寄存器的数据将消失，但后备寄存器的数据仍然保留，待机电路仍工作。从待机模式退出的条件是：NRST 上的外部复位信号、IWDG 复位、WKUP 管脚上的一个上升沿或 RTC 闹钟到时。

- 关机 (Shutdown) 模式

关机模式和待机模式类似，可以达到极低的电能消耗。内部所有 LDO 关闭，包括备份域供电也关闭，所有时钟源关闭，仅关机唤醒电路可以工作。从关机模式退出的条件是：NRST 上的外部复位信号、IWDG 复位、WKUP 管脚上的一个上升边沿。由于备份域供电关闭，无法由 RTC 唤醒。

表 3-5 进入和唤醒低功耗模式

| 工作模式 | 进入条件 | 唤醒条件 | 内部核电源时钟状态 | V_{DD} 主区域时钟状态 | 电压调节器状态 |
|------|--------------------------------------|---------------|-----------|------------------|---------|
| 睡眠模式 | 1. 设置 PWR_CR:LPDS=0 和 PWR_CR:PDDS=0。 | 由任何一个普通 IRQ 中 | CPU 时钟 | 开启 | 开启 |

| 工作模式 | 进入条件 | 唤醒条件 | 内部核电源时钟状态 | V _{DD} 主区域时钟状态 | 电压调节器状态 |
|-----------------|---|--|----------------------|-------------------------|-----------------------|
| (Sleep) | 2. 软件执行 WFI/WFE 指令进入。 | 断事件唤醒, 包括 System Tick。 | 关闭, 对其他时钟和 ADC 时钟无影响 | | |
| 停机模式 (Stop) | 1. 设置 PWR_CR:PDDS=0。 2. 设置 Cortex-M3 系统控制寄存器的 SLEEPDEEP 位。 3. 软件执行 WFI/WFE 指令进入。 | 由任何一个 EXTI 外部中断线唤醒。支持定时 ADC 采样预唤醒。当满足条件后真正唤醒。 | 所有时钟停止 | HSI 和 HSE 关闭 | 开启或者关闭 (在 PWR_CR 中设置) |
| 待机模式 (Standby) | 1. 设置 PWR_CR:LPDS=0 和 PWR_CR:PDDS=1。 2. 设置 Cortex-M3 系统控制寄存器的 SLEEPDEEP 位。 3. 软件执行 WFI/WFE 指令进入。 4. 清除电源控制/状态寄存器 (PWR_CSR) 中的 WUF 位。 | 支持 3 个可配置极性的外部唤醒引脚 (WUKPx)、RTC 闹钟唤醒, 以及 IWDG 复位唤醒。 | 所有时钟停止 | HSI 和 HSE 关闭 | 关闭 |
| 关机模式 (Shutdown) | 1. 设置 PWR_CR:LPDS = 0、PWR_CR:PDDS = 1 和 PWR_CSR2:SHDS = 1。 2. 设置 Cortex-M3 系统控制寄存器的 SLEEPDEEP 位。 3. 软件执行 WFI/WFE 指令进入。 | 支持 3 个可配置极性的外部唤醒引脚 (WUKPx)、RTC 闹钟唤醒。 | 所有时钟停止 | 所有时钟停止 | 关闭 |

3.15 DMA

灵活的 12 路通用 DMA (DMA1 有 7 个通道, DMA2 有 5 个通道) 可以管理存储器到存储器、设备到存储器、存储器到设备的数据传输。2 个 DMA 控制器支持环形缓冲区的管理, 可避免控制器传输到达缓冲区结尾时所产生的中断。

每个通道都有专门的硬件 DMA 请求逻辑, 同时可以由软件触发每个通道; 数据传输的长度、传输的源地址和目标地址都可以通过软件单独设置。DMA 可以用于主要的外设: SPI、I2C、USART、定时器 TIMx、SDIO 和 ADC 等。

3.16 RTC 和 BKP

RTC 和备份寄存器通过一个开关供电。在 V_{DD} 有效时, 该开关选择 V_{DD} 供电, 否则由 V_{BAT} 管脚供电。

3.16.1 RTC

RTC 具有一组连续运行的计数器, 可以通过软件提供日历时钟功能, 还具有闹钟中断和阶段性中断功能。

RTC 的驱动时钟可以是一个使用外部晶体的 32.768 kHz 的振荡器或内部低功耗 RC 振荡器 (典型值为 40 kHz)。为补偿天然晶体的频率偏差, 可以通过输出一个 512 Hz 的信号对 RTC 的时钟进行校准。RTC 具有一个 32 位的可编程计数器, 配合比较寄存器使用可以进行长时间的测量。有一个 20 位的预分频器用于时基时钟, 默认情况下时钟为 32.768 kHz 时它将产生一个 1 秒长的时间基准。

HK32F39A 带一个唤醒定时器用于周期性唤醒。

3.16.2 BKP

备份寄存器 (Backup Register) 可以用于保存用户应用数据。系统或电源复位不会复位备份寄存器。当从待机模式唤醒时, 该寄存器也不会被复位。HK32F39A 提供 43 个备份域数据寄存器 (BKP_DR0~BKP_DR42)。

3.17 独立看门狗

独立的看门狗是基于一个 12 位的递减计数器和一个 8 位的预分频器，它由一个内部独立的 40 kHz 的 RC 振荡器提供时钟。因为这个 RC 振荡器独立于主时钟，所以该振荡器可运行于停机和待机模式。该振荡器可以被当成看门狗，在发生问题时能够复位整个系统，或作为一个自由定时器为应用程序提供超时管理。通过配置选项字节域以选择软件或硬件方式来启动看门狗。在调试模式，计数器可以被冻结。

使用 IWDG_WINR 寄存器，支持 IWDG 的窗口模式。IWDG 计数器复位初始值可通过选项字节设置。

3.18 窗口看门狗

窗口看门狗带一个 7 位的递减计数器。该计数器可设置成自由运行模式，也可作为看门狗用于在发生问题时复位整个系统。窗口看门狗由主时钟驱动，具有早期预警中断功能。在调试模式，计数器可以被冻结。

3.19 System Tick 定时器

System Tick 定时器专用于操作系统，可作为一个标准的递减计数器，具有下述特性：

- 24 位的递减计数器。
- 重加载功能。
- 当计数器为 0 时，能产生一个可屏蔽中断。
- 可编程时钟源。

3.20 基本定时器

基本定时器是 TIM6 和 TIM7，主要用于产生 DAC 触发信号，也可作为通用的 16 位软件时基定时器。

3.21 通用定时器

每个通用定时器（TIM2/TIM3/TIM4/TIM5）都有一个 16 位的自动加载递加/递减计数器、一个 16 位的预分频器和 4 个独立的通道。每个通道都可用于输入捕获、输出比较、PWM 和单脉冲模式输出。通用定时器支持定时器链接功能，能与高级定时器协同工作，提供同步或事件链接功能。在调试模式下，计数器可以被冻结。

通用定时器具有 DAC 触发功能。

任一通用定时器都能用于产生 PWM 输出。每个定时器都有独立的 DMA 请求机制。

TIM2/TIM3/TIM4/TIM5 的四路输入通道除了支持上升沿/下降沿触发，还可通过以下寄存器位配置输入双边沿触发功能：

- TIMx_CCER.CC4NP
- TIMx_CCER.CC3NP
- TIMx_CCER.CC2NP
- TIMx_CCER.CC1NP

3.22 高级定时器

高级定时器（TIM1 和 TIM8）可作为分配到 6 个通道的三相 PWM 发生器，还可以作为完整的通用定时器。其四个独立的通道可以用于：

- 输入捕获
- 输出比较
- 产生 PWM（边沿或中心对齐模式）

- 单脉冲输出
- 互补 PWM 输出，带程序可控的死区插入功能

配置为 16 位 PWM 发生器时，它具有全调制能力（0 ~ 100%）。在调试模式下，计数器可以被冻结。由于高级定时器与通用定时器的很多功能相同，内部结构也相同，因此它也可以通过定时器链接功能与通用定时器协同工作，提供同步或事件链接功能。

高级定时器具有 DAC 触发功能。

HK32F39A 的 TIM1 和 TIM8 具有如下功能：

- TIM_CCER 寄存器 CCER[15]：CC4NP（输入双沿触发用）
- TIM_CR1 寄存器 CR1[15]：ETR_CLR_SEL（选择用外部引脚或是 VC4 比较器输出来清除 PWM 输出）
- TIM_CR1 寄存器 CR1[14]：BRK_SEL（选择用外部引脚或是 VC1、2、3 比较器输出来实现 PWM 刹车）
- 四路输入通道都支持上升沿/下降沿触发和双沿触发功能

3.23 I2C 总线

多达 2 个 I2C 总线接口。I2C 接口支持主和从模式，也支持标准和快速模式。I2C 接口支持 7 位或 10 位寻址，7 位从模式时支持双从地址寻址。I2C 接口内置了硬件 CRC 发生器/校验器。I2C 接口可以使用 DMA 操作，并支持 SMBus V2.0/PMBus 总线。

3.24 USART

内置了 6 个通用同步/异步收发器（USART1 ~ USART6）。这 6 个接口提供异步通信、支持红外线传输编解码、多处理器通信模式、单线半双工通信模式和 LIN 主/从功能。

USART1/6 接口通信速率可达 4.5 Mbit/s，USART2/3/4/5 接口通信速率可达 2.25 Mbit/s。所有 USART 都具有硬件的 CTS 和 RTS 信号管理、兼容 ISO7816 的智能卡模式和类 SPI 通信模式，以及使用 DMA 操作。

3.25 SPI

HK32F39A 多达 3 个 SPI 接口。在主或从模式下，全双工和半双工的通信速率可达 18 Mbit/s。3 位的预分频器可产生 8 种主模式频率，可配置成每帧 8 位或 16 位数据。硬件的 CRC 产生/校验支持基本的 SD 卡和 MMC 模式。

所有的 SPI 接口都可以使用 DMA 操作。

3 个 SPI 接口可以工作在 I2S 模式下。这 3 个标准的 I2S 接口可工作于主或从模式，并可以配置为 16 位或 32 位数据传输，亦可配置为输入或输出通道。支持的音频采样频率范围为 8 kHz 到 192 kHz。当任一 I2S 接口配置为主模式，它的主时钟可以以 256 倍采样频率输出给外部的 DAC 或 CODEC（解码器）。

3.26 SDIO

SD/SDIO/MMC 主机接口支持 MMC 卡系统规范 4.2 版中的 3 个不同的数据总线模式：

- 1 位（默认）
- 4 位
- 8 位：在 8 位模式下，该接口的数据传输速率可达到 48 MHz，该接口与兼容 SD 存储卡规范 2.0 版。

SD 存储卡规范 2.0 版支持两种数据总线模式：1 位（默认）和 4 位。

当前芯片版本只能一次支持一个 SD/SDIO/MMC 4.2 版的卡，但可同时支持多个 MMC 4.1 版及以下的卡。除了 SD/SDIO/MMC，该接口完全与 CE-ATA 数字协议版本 1.1 兼容。

3.27 CAN

HK32F39A 拥有 2 个独立的 CAN 接口。CAN 接口兼容规范 2.0A 和 2.0B(主动), 位速率高达 1 Mbit/s。CAN 接口可以接收和发送 11 位标识符的标准帧和 29 位标识符的扩展帧。CAN 接口具有 3 个发送邮箱和 2 个接收 FIFO, 3 级 14 个可调节的滤波器。

3.28 USB

HK32F39A 内嵌一个兼容全速 USB 的设备控制器, 遵循全速 USB 设备标准, 端点可由软件配置, 具有待机/恢复功能。USB 专用的 48 MHz 时钟由内部主 PLL 直接产生。

3.29 GPIO

每个 GPIO 管脚都可以由软件配置成输出(推拉或开路)、输入(浮空输入、上拉输入或下拉输入)或其它的外设功能端口。多数 GPIO 管脚都与数字或模拟的外设共用。所有的 GPIO 管脚都有大电流通过能力。I/O 管脚的外设功能可以按需锁定, 以避免意外写入 I/O 寄存器。

3.30 ADC

内嵌 3 个 12 位的模拟/数字转换器(ADC), 每个 ADC 共用多达 16 个外部通道, 可以实现单次或扫描转换。在扫描模式下, 在选定的一组模拟输入上的转换将自动进行。

ADC 接口上额外的逻辑功能包括:

- 同时采样和保持
- 交叉采样和保持
- 单次采样

ADC 可以使用 DMA 操作。模拟看门狗能非常精准地监视一路、多路或所有选中的通道。当被监视的信号超出预置的阈值时, 将产生中断。由通用定时器(TIMx)和高级定时器(TIM1/8)产生的事件, 可以分别内部级联到 ADC 的开始触发和注入触发事件。应用程序能使 AD 转换与时钟同步。

ADC 通道与 PIN 脚对应表:

表 3-6 ADC 通道与对应的 PIN 脚

| 外部 PIN 脚 | ADC 通道 | 通道说明 |
|----------|-------------|------|
| PA0 | ADC123_IN0 | - |
| PA1 | ADC123_IN1 | - |
| PA2 | ADC123_IN2 | - |
| PA3 | ADC123_IN3 | - |
| PA4 | ADC12_IN4 | - |
| PA5 | ADC12_IN5 | - |
| PA6 | ADC12_IN6 | - |
| PA7 | ADC12_IN7 | - |
| PB0 | ADC12_IN8 | - |
| PB1 | ADC12_IN9 | - |
| PC0 | ADC123_IN10 | - |
| PC1 | ADC123_IN11 | - |
| PC2 | ADC123_IN12 | - |
| PC3 | ADC123_IN13 | - |
| PC4 | ADC12_IN14 | - |
| PC5 | ADC12_IN15 | - |

| 外部 PIN 脚 | ADC 通道 | 通道说明 |
|----------|-----------|--|
| PB3 | ADC3_IN5 | 与 VC3 负端共享引脚 |
| PB4 | ADC3_IN6 | 与 VC3 正端共享引脚 |
| PB5 | ADC3_IN7 | 与 VC4 负端共享引脚 |
| PB6 | ADC3_IN8 | 与 VC4 正端共享引脚 |
| - | ADC1_IN16 | 温度传感器 |
| - | ADC1_IN17 | 内部电源模块 |
| - | ADC1_IN18 | V _{BAT} ，由 V _{BATEN} 控制，内部 1/2 分压，用于测量 V _{BAT} 电压。 |
| PE2 | ADC2_IN17 | PE2 由 V _{REFEN} 控制，经 ADC 内缓存到 CH17，用于测量外部弱驱动的信号。 |
| PE3 | ADC2_IN18 | - |
| PB12 | ADC3_IN16 | PB12 由 V _{BATEN} 控制，经过 ADC 内部 1/2 分压到 CH16。可通过此 IO 测试外部高电压，例如 USB V _{BUS} 、锂电池等。 |
| PE4 | ADC3_IN17 | PE4 由 V _{REFEN} 控制，经 ADC 内缓存到 CH17，用于测量外部弱驱动的信号。 |
| PE5 | ADC3_IN18 | - |

3.31 DAC

HK32F39A 集成了两个 12 位带缓冲的 DAC 通道，用于将 2 路数字信号转换为 2 路模拟电压信号并输出。

DAC 的主要特性如下：

- 2 个 DAC 转换器：每个转换器对应 1 个输出通道
- 8 位或者 12 位单调输出
- 2 位模式下支持数据左对齐或者右对齐
- 同步更新功能
- 噪声波形生成
- 三角波形生成
- 双 DAC 通道同时或者分别转换
- 每个通道都有 DMA 功能
- 外部触发转换
- 输入参考电压 V_{REF+}

HK32F39A 中有 8 个触发事件可触发 DAC 转换。可通过定时器的更新事件触发 DAC 输出，更新输出也可连接到不同的 DMA 通道。

3.32 模拟比较器

HK32F39A 新增电压比较模块：

- 从 8 个 IO 上分别输入的 4 对电压到四个独立的电压比较器。
- 4 个电压比较器的输出结果可以输出到 IO 或者作为定时器的输入事件。
 - 1 个电压比较器的输出结果可以作为定时器 1 和 8 的 OCREF_CLR 事件。
 - 3 个电压比较器的输出结果可以作为定时器 1 和 8 的 Break 事件。
- 电压比较器的输出结果可以作为 EXTI 的输入事件以唤醒系统和产生中断。
- 每个电压比较器可编程的迟滞电压：可选 0 和 30 mV。
- 每个电压比较器具有可编程的速度和功耗模式。

- 低速超低功耗模式，功耗低至 3 μA
- 低速低功耗模式，典型功耗 5 μA
- 中速中等功耗模式，典型功耗 40 μA
- 高速高功耗模式，典型功耗 100 μA
- 电压比较器输出高低极性可配置。

3.33 温度传感器

温度传感器产生一个随温度线性变化的电压。温度传感器在内部被连接到 ADC1_IN16 的输入通道上，用于将传感器的输出转换成数字数值。

3.34 数字相机接口（DCMI）

DCMI 通过同步并行数字接口，接收片外 CMOS 相机模块发送的高速图像视频数据。DCMI 具备以下特点：

- 支持多种数据格式：YCbCr4:2:2/RGB565 视频数据和 JPEG 压缩数据
- 并行接口位宽可配置为 8 位、10 位、12 位或 14 位
- 像素时钟和同步信号的极性可配
- 支持连续帧采样或单帧采样
- 支持图像自动裁剪
- 支持跳帧、跳行和跳像素点采样
- 8 个字（word）深度数据接收 FIFO

3.35 串行语音接口（SAI）

SAI 支持当前大多数的音频接口协议，支持的协议有：

- I2S
- LSB-/MSB-对齐
- PCM/DSP
- TDM
- AC'97
- SPDIF 发送端
- PDM 接收端

SAI 包含了两个独立的音频协议处理模块。每个模块有其独立的时钟单元和协议处理单元，用户可根据需要将其配置为：协同工作或独立工作、主接口或从接口、接收端或发送端。

SAI 支持的特征处理包括：双通道/单通道， μ_law/a_law 压缩解压等。

注意：HK32F39A 工程样片不提供 SAI 接口。

3.36 QSPI Flash 接口

QSPI 存储接口是一个针对一线、两线或者四线 Flash 存储的特殊通信接口。QSPI 的工作模式包括：

- 间接模式（寄存器直接访问）
- 状态轮询模式（周期性读取外部 Flash 状态寄存器）
- 内存映射模式（外部 Flash 映射到微控制器地址空间）

内存映射支持高达 256 MByte 的外部 Flash，使用 8、16 和 32 位访问，并且支持代码执行。操作码

与帧格式完全可编程。通信可以是 SDR 或者 DDR 方式。

3.37 TFT LCD 接口

TFT LCD 接口属于 FSMC 接口的一部分，它可以直接驱动液晶屏。TFT LCD 接口和 FSMC 其它功能，同一时间仅能择一使用。通过 FSMC 接口可以驱动 4 个 TFT LCD 面板（RGB565 格式：5 位红色、6 位绿色和 5 位蓝色），包括 4 个面板对应的 4 个行同步、4 个列同步和 4 个数据有效指示信号。

3.38 TRNG 模块

TRNG 模块是一个以连续模拟噪声为基础的随机数发生器，提供一个 32 位的随机数。

TRNG 时钟为 HSI 8 MHz 分频时钟。在使能 TRNG 后，需要等待大约 1500 个时钟周期后再读取 RNG_DR 寄存器。

- 提供由模拟量发生器产生的 32 位随机数。
- 两个随机数的产生间隔为 40 个 8 MHz 时钟。
- 通过监视 TRNG 的熵来标识异常行为（产生稳定值或产生稳定的值序列）。
- 可禁止 TRNG 模块以降低功耗。

3.39 AES 模块

HK32F39A 集成了一个高级加解密单元，它完全符合 FIPS 197 (Federal Information Processing Standards)。

- 支持 ECB/CBC/CTR 模式
- 支持 128 位、192 位和 256 位密钥加密
- 加解密计算时间：
 - 128 位密钥：57 时钟周期
 - 192 位密钥：67 时钟周期
 - 256 位密钥：77 时钟周期
- 解密密钥准备时间：
 - 128 位密钥：57 时钟周期
 - 192 位密钥：67 时钟周期
 - 256 位密钥：77 时钟周期
- 支持 AES 时钟随机化，和 TRNG 模块配合，随机化 AES 时钟
- 更方便的中断现场保护和中断现场恢复

3.40 HASH 模块

Hash 模块适用于数据验证的应用，符合以下协议：

- FIPS PUB 180-2（联邦信息处理标准出版物 180-2）
- 安全哈希标准规范（SHA-256）

SHA-256 快速运算处理系统作为从设备时，输入数据长度支持字、半字、字节和位（仅支持小端排列）。

自动转换小端排列模式的输入数据以适应采用大端排列模式的 SHA-256 运算标准，自动将最后一段输入数据补齐至 512 位（16 x 32 位）的摘要长度。

3.41 96 位 UID

96 位的产品唯一身份标识（UID）对任意一颗芯片，在任何情况下都是唯一的。用户不能修改这个身

份标识。按照用户不同的用法，该 UID 可以字节（8 位）、半字（16 位）或者全字（32 位）为单位进行读取。96 位 UID 适合以下应用。

- 用来作为序列号（例如 USB 字符序列号或者其他的终端应用）。
- 用来作为密码。在编写 Flash 时，将此唯一标识与软件加解密算法结合使用，提高代码在 Flash 存储器内的安全性。
- 用来激活带安全机制的自举过程。

3.42 调试及跟踪接口

内嵌 ARM 的 SWJ-DP 接口，其结合了 JTAG 和串行单线调试的接口，可以实现串行单线调试接口或 JTAG 接口的连接。JTAG 的 TMS 和 TCK 信号分别与 SWDIO 和 SWCLK 共用管脚，TMS 脚上的一个特殊的信号序列用于在 JTAG-DP 和 SW-DP 间切换。

4 电气性能指标

4.1 最大绝对额定值

最大额定值是短时间的压力值。

注意：

- 请勿将芯片在该值或者其他任何超出该推荐值的条件下使用。
- 芯片的最大额定值请参考表 4-1 至表 4-24，超出最大额定值可能导致芯片永久性的损坏。
- 长时间工作在最大额定值下可能影响芯片的可靠性。

4.1.1 极限电压特性

表 4-1 极限电压特性

| 符号 | 描述 | 最小值 | 最大值 | 单位 |
|----------------------|-----------------------------------|----------------|----------|----|
| $V_{DD}-V_{SS}$ | 外部主供电电压（包含 V_{DDA} 和 V_{DD} ） | -0.5 | 3.63 | V |
| V_{IN} | 引脚上的输入电压 | $V_{SS} - 0.3$ | V_{DD} | |
| $ \Delta V_{DDx} $ | 不同供电引脚之间的电压差 | - | 50 | mV |
| $ V_{SSx} - V_{SS} $ | 不同接地引脚之间的电压差 | - | 50 | |

4.1.2 极限电流特性

表 4-2 极限电流特性

| 符号 | 描述 | 最大值 | 单位 |
|-----------------------|--|----------|----|
| I_{VDD} | 经过 V_{DD}/V_{DDA} 电源线的总电流（供应电流） ⁽¹⁾ | 150 | mA |
| I_{VSS} | 经过 V_{SS} 地线的总电流（流出电流） ⁽¹⁾ | 150 | |
| I_{IO} | 任意 I/O 和控制引脚上的输出灌电流 | 25 | |
| | 任意 I/O 和控制引脚上的输出拉电流 | -25 | |
| $I_{INJ(PIN)}^{(2)}$ | 引脚上的注入电流 ⁽³⁾ | ± 5 | |
| $\Sigma I_{INJ(PIN)}$ | 所有 I/O 和控制引脚上的总注入电流 ⁽⁴⁾ | ± 25 | |

- (1). 所有的电源（ V_{DD} , V_{DDA} ）和地（ V_{SS} , V_{SSA} ）引脚必须始终连接到外部允许范围内的供电系统上。
- (2). 反向注入电流会干扰器件的模拟性能。
- (3). 当 $V_{IN} > V_{DD}$ 时，有一个正向注入电流；当 $V_{IN} < V_{SS}$ 时，有一个反向注入电流，注入电流绝对不能超过规定范围。
- (4). 当几个 I/O 口同时有注入电流时， $\Sigma I_{INJ(PIN)}$ 的最大值为正向注入电流与反向注入电流的即时绝对值之和。

4.1.3 极限温度特性

表 4-3 极限温度特性

| 符号 | 描述 | 参数值 | 单位 |
|-----------|--------|------------|----|
| T_{STG} | 储存温度范围 | -45 ~ +150 | °C |
| T_J | 最大结温度 | 125 | |

4.2 工作参数

4.2.1 推荐工作条件

表 4-4 推荐工作条件

| 符号 | 描述 | 最小值 | 最大值 | 单位 |
|-----------------|--------------|-----|-----|-----|
| f_{HCLK} | 内部 AHB 时钟频率 | 0 | 120 | MHz |
| f_{PCLK1} | 内部 APB1 时钟频率 | 0 | 60 | |
| f_{PCLK2} | 内部 APB2 时钟频率 | 0 | 120 | |
| V_{DD} | 标准工作电压 | 2 | 3.6 | V |
| $V_{DDA}^{(1)}$ | 模拟工作电压 | 2 | 3.6 | V |
| V_{BAT} | 备份部分工作电压 | 1.8 | 3.6 | V |
| T | 工作温度 | -40 | 105 | °C |

(1). 建议使用相同的电源为 V_{DD} 和 V_{DDA} 供电。

4.2.2 低压检测

表 4-5 PVD 特性

| 符号 | 参数 | 条件 | 最小值 | 典型值 | 最大值 | 单位 |
|----------------|-----------------------|----------------|-------|-------|-------|----|
| V_{PVD} | 可编程电压检测器的检测电平选择 (上升沿) | PLS[2:0] = 000 | 2.183 | 2.188 | 2.196 | V |
| | | PLS[2:0] = 001 | 2.286 | 2.289 | 2.298 | |
| | | PLS[2:0] = 010 | 2.393 | 2.399 | 2.407 | |
| | | PLS[2:0] = 011 | 2.502 | 2.508 | 2.518 | |
| | | PLS[2:0] = 100 | 2.621 | 2.629 | 2.639 | |
| | | PLS[2:0] = 101 | 2.726 | 2.733 | 2.745 | |
| | | PLS[2:0] = 110 | 2.839 | 2.846 | 2.855 | |
| | PLS[2:0] = 111 | 2.958 | 2.969 | 2.979 | | |
| | 可编程电压检测器的检测电平选择 (下降沿) | PLS[2:0] = 000 | 2.116 | 2.119 | 2.125 | |
| | | PLS[2:0] = 001 | 2.208 | 2.211 | 2.220 | |
| | | PLS[2:0] = 010 | 2.305 | 2.310 | 2.320 | |
| | | PLS[2:0] = 011 | 2.399 | 2.406 | 2.416 | |
| | | PLS[2:0] = 100 | 2.506 | 2.512 | 2.521 | |
| | | PLS[2:0] = 101 | 2.596 | 2.602 | 2.613 | |
| PLS[2:0] = 110 | | 2.693 | 2.701 | 2.710 | | |
| PLS[2:0] = 111 | 2.798 | 2.805 | 2.817 | | | |

4.2.3 上/下电复位特性

表 4-6 上/下电复位特性

| 符号 | 参数 | 条件 | 最小值 | 典型值 | 最大值 | 单位 |
|----------------------|---------|--------------------|---------------------|------|---------------------|----|
| $V_{POR/PDR}^{(1)}$ | 上下电复位阈值 | 下降沿 ⁽²⁾ | 1.8 | 1.88 | 1.96 ⁽³⁾ | V |
| | | 上升沿 | 1.84 ⁽³⁾ | 1.92 | 2.0 | V |
| $V_{PDRhyst}$ | PDR 滞回 | - | - | 40 | - | mV |
| $t_{RSTTEMPO}^{(3)}$ | 复位时间 | - | 1.50 | 2.50 | 4.50 | ms |

(1). PDR 监控 V_{DD} 和 V_{DDA} , POR 只监控 V_{DD} 。

- (2). 产品实际性能可保证低于 $V_{POR/PDR}$ 最小值。
- (3). 数据为理论设计值，不是实际测试值。

4.2.4 内部参考电压

表 4-7 参考电压特性

| 符号 | 参数 | 条件 | 最小值 | 典型值 | 最大值 | 单位 |
|--------------|--------|-------------|------|-----|-------|----|
| V_{REFINT} | 内部参考电压 | -40 ~ 105°C | 0.74 | 0.8 | 0.811 | V |

4.2.5 工作电流特性

表 4-8 工作电流特性

| 模式 | 条件 | $V_{DD} = 3.3V$ | | | | 单位 |
|---|--|------------------------|------------------------|------------------------|------------------------|----|
| | | -40° C | 25° C | 85° C | 105° C | |
| Run 模式 | HCLK=120MHz, Flash_LATENCY 设置 4 个等待周期, APB 时钟 enable, cache enable/disable | Cache enable: 12.18 | Cache enable: 20.95 | Cache enable:22.31 | Cache enable:23.44 | mA |
| | | Cache disable: 11.2 | Cache disable:19.34 | Cache disable:20.71 | Cache disable:21.82 | |
| | HCLK=120MHz, Flash_LATENCY 设置 4 个等待周期, APB 时钟 disable, cache enable/disable | Cache enable: 6.71 | Cache enable:11.50 | Cache enable:12.74 | Cache enable:13.81 | mA |
| | | Cache disable:6.1 | Cache disable:10.44 | Cache disable:11.66 | Cache disable:12.75 | |
| | HCLK = HSE (8MHz), Flash_LATENCY 设置 0 等待周期, APB 时 钟 enable, cache enable/disable | Cache enable: 1.83 | Cache enable: 1.98 | Cache enable: 3.08 | Cache enable: 4.1 | mA |
| | | Cache disable: 3.65 | Cache disable:3.91 | Cache disable:5.06 | Cache disable:6.12 | |
| HCLK = HSE (8MHz), Flash_LATENCY 设置 0 等待周期, APB 时 钟 disable, cache enable/disable | Cache enable:1.19 | Cache enable:1.36 | Cache enable:2.39 | Cache enable:3.41 | mA | |
| | Cache disable:1.15 | Cache disable:1.25 | Cache disable:2.32 | Cache disable:3.36 | | |
| | HCLK = LSI (40 kHz) | 0.23 | 0.31 | 1.34 | 2.33 | mA |
| | HCLK =LSE (32.768 kHz) | 0.23 | 0.3 | 1.35 | 2.32 | mA |
| Sleep 模式 | HCLK = 120 MHz, APB 时钟 enable | 8.52 | 14.63 | 15.92 | 17.01 | mA |
| | HCLK = 120 MHz, APB 时钟 disable | 3.3 | 5.65 | 6.82 | 7.85 | mA |
| | HCLK = HSI(8 MHz), APB 时钟 enable | 1.56 | 1.69 | 2.95 | 3.72 | mA |

| 模式 | 条件 | $V_{DD} = 3.3V$ | | | | 单位 |
|-------------|--------------------------------------|-----------------|---------------|---------------|----------------|---------|
| | | $-40^{\circ}C$ | $25^{\circ}C$ | $85^{\circ}C$ | $105^{\circ}C$ | |
| | HCLK = HSI(8 MHz), APB 时钟 disable | 0.88 | 1.01 | 2.85 | 3.04 | mA |
| Stop 模式 | LDO 全速工作状态, HSE/HSI/LSE 关闭, IWDG 关闭。 | 202.67 | 303 | 1322 | 2179 | μA |
| | LDO 低功耗状态, HSE/HSI/LSE 关闭, IWDG 关闭。 | 18.38 | 89.47 | 729 | 1374 | μA |
| Standby 模式 | LSI 和 IWDG 打开 | 2.98 | 3.87 | 16.74 | 30.29 | μA |
| | LSI 和 IWDG 关闭 | 2.96 | 3.87 | 16.68 | 30.22 | μA |
| | 所有晶振关闭 | 2.35 | 3.36 | 16.16 | 29.72 | μA |
| Shutdown 模式 | LSE 打开且 RTC 运行(BKPPDS = 0) | 1.7 | 2.67 | 11.98 | 21.87 | μA |
| | LSE 关闭且 RTC 关闭(BKPPDS = 1) | 0.04 | 0.09 | 0.62 | 1.60 | μA |
| | LSE 关闭且 RTC 停止(BKPPDS = 0) | 1.31 | 2.19 | 11.41 | 21.27 | μA |
| V_{BAT} | LSE/LSI 打开且 RTC 运行 | 1.7 | 2.67 | 11.98 | 25.86 | μA |
| | LSE/LSI 打开且 RTC 停止 | 1.31 | 2.19 | 11.41 | 21.27 | μA |

4.2.6 HSE 时钟特性

HK32F39A 集成了一个 HSE 负反馈晶体振荡电路，芯片外的起振推荐电路如下图：

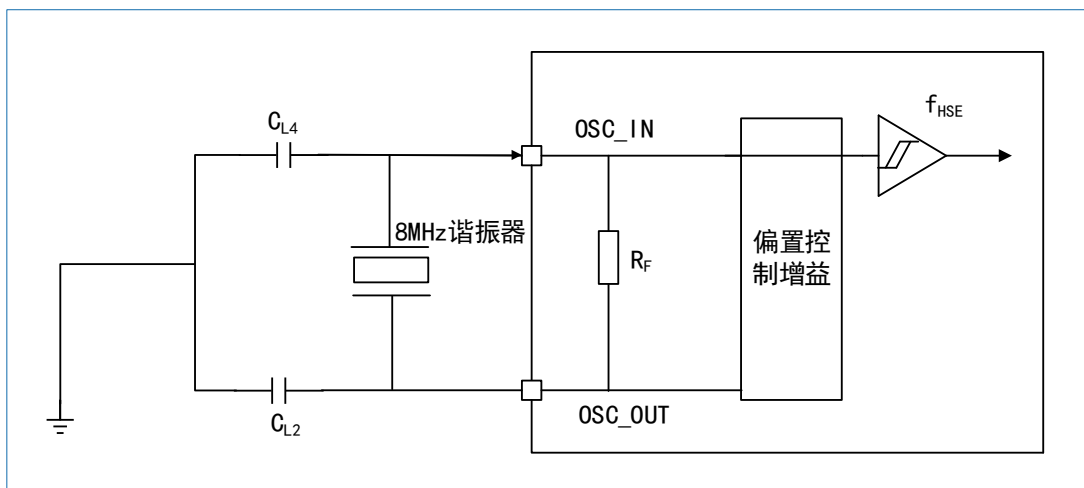


图 4-1 芯片外的推荐起振电路

HK32F39A 也支持通过 OSC_IN 直接输入一个时钟信号，时钟信号要求如下。

表 4-9 外部高速时钟输入特性

| 符号 | 参数 | 条件 | 最小值 | 典型值 | 最大值 | 单位 |
|----------------|-----------|----|-------------|-----|-------------|-----|
| f_{HSE_ext} | 时钟频率 | - | 1 | 8 | 25 | MHz |
| V_{HSEH} | 输入引脚高电平 | - | $0.7V_{DD}$ | - | V_{DD} | V |
| V_{HSEL} | 输入引脚低电平 | - | V_{SS} | - | $0.3V_{DD}$ | |
| $T_{W(HSE)}$ | 有效高/低电平时间 | - | 5 | - | - | ns |
| $T_{r(HSE)}$ | 上升/下降时间 | - | - | - | 20 | |
| $T_{f(HSE)}$ | | - | - | - | - | |
| $C_{in(HSE)}$ | 输入容抗 | - | - | 5 | - | pF |
| $DuCy_{(HSE)}$ | 占空比 | - | 45 | - | 55 | % |

4.2.7 LSE 时钟特性

HK32F39A 集成了一个 LSE 负反馈晶体振荡电路，芯片外的起振推荐电路如下图：

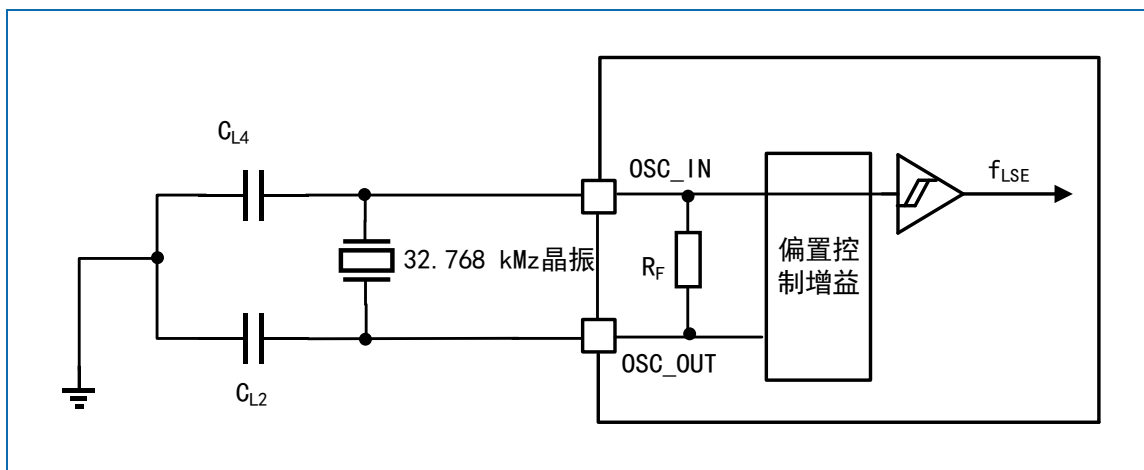


图 4-2 芯片外的推荐起振电路

HK32F39A 也支持通过 OSC32_IN 直接输入一个时钟信号，时钟信号要求如下。

表 4-10 LSE 时钟特性($f_{LSE}=32.768$ kHz)

| 符号 | 参数 | 条件 | 最小值 | 典型值 | 最大值 | 单位 |
|---------------|-------------------|----------------------------------|-----|------|------|-----------|
| R_F | 反馈电阻 | - | - | 2 | | $M\Omega$ |
| $T_{su(LSE)}$ | 振荡器启动时间 | $V_{SS} \leq V_{IN} \leq V_{DD}$ | - | - | 2000 | ms |
| C | 推荐负载容抗减去晶振的等效串联电容 | - | - | 12.5 | - | pF |
| g_m | 振荡器跨导 | 启动 | - | - | - | |
| i_2 | LSE 驱动电流 | - | - | 400 | - | nA |

表 4-11 外部低速时钟输入特性

| 符号 | 参数 | 条件 | 最小值 | 典型值 | 最大值 | 单位 |
|-------------------------|-----------|----|-------------|--------|-------------|-----|
| f_{LSE_ext} | 时钟频率 | - | - | 32.768 | 1000 | kHz |
| V_{LSEH} | 输入引脚高电平 | - | $0.7V_{DD}$ | - | V_{DD} | V |
| V_{LSEL} | 输入引脚低电平 | - | V_{SS} | - | $0.3V_{DD}$ | |
| $T_{W(LSE)}$ | 有效高/低电平时间 | - | 450 | - | - | ns |
| $T_{r(LSE)}/T_{f(LSE)}$ | 上升/下降时间 | - | - | - | 50 | |

| 符号 | 参数 | 条件 | 最小值 | 典型值 | 最大值 | 单位 |
|-----------|------|----|-----|-----|-----|----|
| Cin(LSE) | 输入容抗 | - | - | 5 | - | pF |
| DuCy(LSE) | 占空比 | - | 30 | - | 70 | % |

4.2.8 HSI 时钟特性

表 4-12 内部快速时钟特性

| 符号 | 参数 | 条件 | 最小值 | 典型值 | 最大值 | 单位 | |
|------------------------|---------|---|-------------------|-----|-----|-----|---|
| F _{HSI} RC 56 | RC 振荡器 | - | - | 56 | - | | |
| f _{HSI} | 时钟频率 | - | - | 8 | - | MHz | |
| DuCy(HSI) | 占空比 | - | 45 | - | 55 | % | |
| ACC _{HSI} | 振荡器精度 | 出厂精度 (室温) | -1 | - | 1 | | |
| | | 工厂校准 | TA = -40 ~ 105 °C | - | - | 2.5 | % |
| | | | TA = -40 ~ 85 °C | - | - | 2.2 | % |
| | | | TA = 0 ~ 70 °C | - | - | 2 | % |
| Tsu(HSI) | 振荡器启动时间 | V _{SS} ≤ V _{IN} ≤ V _{DD} | 1 | - | 2 | μs | |
| I _{DD} (HSI) | 振荡器功耗 | - | - | 80 | 100 | μA | |

4.2.9 LSI 时钟特性

表 4-13 内部慢速时钟特性

| 符号 | 参数 | 最小值 | 典型值 | 最大值 | 单位 |
|-----------------------|---------|-----|------|-----|-----|
| f _{LSI} | 时钟频率 | 30 | 40 | 60 | kHz |
| tsu(LSI) | 振荡器启动时间 | - | - | 85 | μs |
| I _{DD} (LSI) | 振荡器功耗 | - | 0.65 | 1.2 | μA |

4.2.10 PLL 特性

表 4-14 PLL 特性

| 符号 | 参数 | 最小值 | 典型值 | 最大值 | 单位 |
|----------------------|---------|-----|-----|-----|-----|
| f _{PLL_IN} | 输入时钟频率 | 2 | 8.0 | 80 | MHz |
| | 输入时钟占空比 | 40 | - | 60 | % |
| f _{PLL_OUT} | 输出时钟频率 | 16 | - | 120 | MHz |
| t _{LOCK} | 锁相时间 | - | 80 | 120 | μs |
| Jitter | 循环抖动 | - | 5 | 13 | ps |

4.2.11 GPIO 输入时钟

HK32F39A 支持从 PA1、PB1、PC7、PB7 输入时钟，要求如下：

表 4-15 GPIO 输入时钟特性

| 符号 | 参数 | 最小值 | 典型值 | 最大值 | 单位 |
|------|---------|-----|-----|-----|-----|
| Fext | 输入时钟频率 | 1 | 8.0 | 64 | MHz |
| | 输入时钟占空比 | 40 | - | 60 | % |

4.2.12 Flash 存储器特性

表 4-16 Flash 存储器特性

| 符号 | 参数 | 最小值 | 典型值 | 最大值 | 单位 |
|----------------------|-----------|-----|------|-----|----|
| T _{PROG} | 单字节写入时间 | 6 | - | 7.5 | μs |
| T _{ERASE} | 页擦除时间 | 4 | - | 5 | ms |
| | 整片擦除时间 | 30 | - | 40 | ms |
| IDD _{PROG} | 单字节写入电流 | - | - | 5 | mA |
| IDD _{ERASE} | 页/片擦除电流 | - | - | 2 | mA |
| IDD _{READ} | 读电流@24MHz | - | 2 | 3 | mA |
| | 读电流@1MHz | - | 0.25 | 0.4 | mA |
| N _{END} | 擦写寿命 | 10 | | | 万次 |
| t _{RET} | 数据保存时间 | 20 | | | 年 |

4.2.13 IO 输入引脚特性

表 4-17 IO 引脚直流特性

| 符号 | 参数 | 条件 | 最小值 | 典型值 | 最大值 | 单位 |
|--------------------|------------|--|------|------|------|----|
| V _{IH} | 输入高电平 | V _{DD} = 3.3V | 1.6 | - | - | V |
| V _{IL} | 输入低电平 | V _{DD} = 3.3V | - | - | 1.5 | V |
| V _{IHhys} | 输入高电平 | V _{DD} = 3.3V | 1.56 | - | - | V |
| V _{ILhys} | 输入低电平 | V _{DD} = 3.3V | - | - | 1.26 | V |
| V _{hys} | 施密特触发器电压迟滞 | V _{DD} = 3.3V | - | 300 | - | mV |
| I _{lkg} | 输入漏电流 | V _{DD} = 3.3V 0 < V _{IN} < 3.3V | - | 0.01 | 1 | μA |
| | | V _{DD} = 3.3V V _{IN} = 5V | - | 0.02 | 1 | μA |
| R _{PU} | 上拉电阻 | V _{IN} = V _{SS} | - | 35 | - | KΩ |
| R _{PD} | 下拉电阻 | V _{IN} = V _{DD} | - | 35 | - | KΩ |
| C _{IO} | I/O 引脚电容 | - | - | 5 | - | pF |

4.2.14 IO 输出引脚特性

表 4-18 IO 引脚输出直流特性

| 速度模式 | 符号 | 参数 | 条件 | 最小值 | 最大值 | 单位 |
|------|-----------------|-------|--|-----|-----|----|
| 10 | V _{OL} | 输出低电平 | CL = 50pF, V _{DD} = 2V ~ 3.6V R _{Load} = 5 Kohm | - | 2 | V |
| | V _{OH} | 输出高电平 | | - | 125 | V |
| 01 | V _{OL} | 输出低电平 | CL = 50pF, V _{DD} = 2V ~ 3.6V R _{Load} = 5 Kohm | - | 2 | V |
| | V _{OH} | 输出高电平 | | - | 125 | V |
| 11 | V _{OL} | 输出低电平 | CL = 50pF, V _{DD} = 2V ~ 3.6V R _{Load} = 5 Kohm | - | 2 | V |
| | V _{OH} | 输出高电平 | | - | 125 | V |

表 4-19 IO 引脚输出交流特性

| 模式 | 符号 | 参数 | 条件 | 最小值 | 最大值 | 单位 |
|----|--------------------------|------|---|-----|-----|-----|
| 10 | f _{max(I/O)out} | 最大频率 | CL = 50 pF, V _{DD} = 2 V ~ 3.6 V | - | 2 | MHz |

| 模式 | 符号 | 参数 | 条件 | 最小值 | 最大值 | 单位 |
|----|-------------------|--------------|---|-----|-----|-----|
| | $t_{f(I/O)out}$ | 输出高到低电平的下降时间 | | - | 125 | ns |
| | $t_{r(I/O)out}$ | 输出低到高电平的上升时间 | | - | 125 | |
| 01 | $f_{max(I/O)out}$ | 最大频率 | CL = 50 pF, V _{DD} = 2 V ~ 3.6 V | - | 10 | MHz |
| | $t_{f(I/O)out}$ | 输出高到低电平的下降时间 | | - | 25 | |
| | $t_{r(I/O)out}$ | 输出低到高电平的上升时间 | | - | 25 | |
| 11 | $f_{max(I/O)out}$ | 最大频率 | CL = 50 pF, V _{DD} = 2.7 V ~ 3.6 V | - | 50 | MHz |
| | $t_{f(I/O)out}$ | 输出高到低电平的下降时间 | | - | 5 | |
| | $t_{r(I/O)out}$ | 输出低到高电平的上升时间 | | - | 5 | |

4.2.15 NRST 复位管脚特性

NRST 管脚内部集成了一个上拉电阻，外围应用电路可以不接任何电路，也可以外接 RC 电路。

表 4-20 NRST 引脚输入特性

| 符号 | 参数 | 最小值 | 最大值 | 单位 |
|--------------------|--------|-----|-----|----|
| T _{Noise} | 低电平被忽略 | - | 265 | ns |

4.2.16 TIM 计数器特性

表 4-21 TIM 引脚输入特性

| 符号 | 条件 | 最小值 | 最大值 | 单位 |
|------------------|----------------------|-----|--|-----|
| F _{EXT} | CH1 至 CH4 的定时器外部时钟频率 | 0 | F _{TIMxCLK} /2 ⁽¹⁾ | MHz |

(1). f_{TIMxCLK} = 120 MHz

4.2.17 ADC 特性

表 4-22 ADC 特性

| 项目 | 描述 | 条件 | 最小 | 典型 | 最大 | 单位 |
|-------------------|----------------------------|---|--|------|------------------|-----|
| V _{DDA} | ADC 供电 | - | 2 | 3.3 | 3.6 | V |
| V _{REF+} | 正参考电压 | - | 2 | | V _{DDA} | V |
| V _{REF-} | 负参考电压 | - | 0 | | | V |
| I _{VREF} | 参考输入电流 | - | - | 150 | 480 | μA |
| INL | 积分非线性（过程实际转换点与实际转换线的差的最大值） | f _{ADC} = 14 MHz R _{AIN} < 10 KΩ 校准后测试 V _{DDA} = 2.4 ~ 3.6V | - | ±1.5 | ±4 | LSB |
| DNL | 微分非线性（过程中转换误差最大点） | f _{ADC} = 14 MHz R _{AIN} < 10KΩ 校准后测试 V _{DDA} =2.4~3.6V | - | ±1 | ±3 | LSB |
| f _{ADC} | ADC 时钟频率 | - | 0.6 | - | 14 | MHz |
| f _s | 采样频率 | - | 0.05 | - | 1 | MHz |
| f _{TRIG} | 外部触发频率 | f _{ADC} = 14 MHz | - | - | 823 | kHz |
| | | - | - | - | 17 | |
| V _{AIN} | 转换电压范围 | - | 0(V _{SSA} 或 V _{REF-} 接地) | - | VREF+ | V |

| 项目 | 描述 | 条件 | 最小 | 典型 | 最大 | 单位 |
|-------------------|---------------|---------------------------|---|----|-------|--------------------|
| R _{AIN} | 外部输入阻抗 | - | - | - | 50 | kΩ |
| R _{ADC} | 采样开关电阻 | - | - | - | 1 | kΩ |
| C _{ADC} | 采样保持电容 | - | - | - | 5 | pF |
| t _{CAL} | ADC 校验时间 | f _{ADC} = 14 MHz | 5.9 | | | μs |
| | | - | 83 | | | 1/f _{ADC} |
| t _{lat} | 注入触发转换延迟 | f _{ADC} = 14 MHz | - | - | 0.214 | μs |
| | | - | - | - | 3 | 1/f _{ADC} |
| t _{latr} | 常规触发转换延迟 | f _{ADC} = 14 MHz | - | - | 0.143 | μs |
| | | - | - | - | 2 | 1/f _{ADC} |
| t _s | 采样时间 | f _{ADC} = 14 MHz | 0.107 | | 17.1 | μs |
| | | - | 1.5 | | 239.5 | 1/f _{ADC} |
| t _{STAB} | 上电启动时间 | - | 0 | 0 | 1 | μs |
| t _{CONV} | 总转换时间（包括采样时间） | f _{ADC} = 14 MHz | 1 | - | 18 | μs |
| | | - | 14 到 252 (t _s + 12.5 用于逐次逼近) | | | 1/f _{ADC} |

4.2.18 DAC 特性

表 4-23 DAC 特性

| 符号 | 参数 | 最小值 | 典型值 | 最大值 | 单位 |
|-----------------------|---|-----|-----|-----------------------|-----|
| V _{DDA} | 模拟供电电压 | 2.0 | 3.3 | 3.6 | V |
| V _{REF+} | 参考供电电压 | 2.0 | 3.3 | 3.6 | V |
| V _{SSA} | 地线 | 0 | 0 | 0 | V |
| R _{LOAD} | 缓冲器打开时的负载电阻 | 5 | - | - | kΩ |
| R _O | 缓冲器关闭时的输出电阻 | - | 15 | - | kΩ |
| C _{LOAD} | 电容负载 | - | - | - | pF |
| DAC_OUT min | 缓冲器打开时低端的 DAC_OUT 电压 | 0.1 | - | - | V |
| DAC_OUT max | 缓冲器打开时高端的 DAC_OUT 电压 | - | - | V _{DD} - 0.1 | V |
| DAC_OUT min | 缓冲器关闭时低端的 DAC_OUT 电压 | 0 | - | - | mV |
| DAC_OUT max | 缓冲器关闭时高端的 DAC_OUT 电压 | - | - | V _{REF} | V |
| I _{DDVREF+} | 静止模式（待机模式）下的 DAC 直流消耗 | 108 | 135 | 162 | μA |
| I _{DDA} | 静止模式下的 DAC 直流消耗 | - | - | 429 | μA |
| DNL | 非线性失真（2 个连续代码间的偏差） | - | - | ±1 | LSB |
| INL | 非线性累积（在代码 0 和代码 1023 连线上代码 i 的值和在代码 i 时的测量值间的偏差） | - | - | ±4 | LSB |
| | | - | - | ±4 | LSB |
| Offset | 偏移误差（在代码 0x800 时的测量值和理想值 V _{REF+} /2 之间的偏差） | - | - | ±10 | mV |
| | | - | - | ±12 | LSB |
| Gain error | 增益误差 | - | - | ±0.5 | % |
| t _{SETTLING} | ±1LSB 设置时间（全范围：当 DAC_OUT 达到最终值的±1LSB 时，10 位输入代码从最小值到最大值的转换） | - | 3 | 4 | μs |

| 符号 | 参数 | 最小值 | 典型值 | 最大值 | 单位 |
|---------------------|--|-----|-----|-----|------|
| Update rate | 当输入代码为较小变化（从数值 i 变到 i+1LSB）时，得到正确 DAC_OUT 的最大频率。 | - | - | 1 | MS/s |
| t _{WAKEUP} | 从关闭状态唤醒所需时间（设置 DAC 控制寄存器的 ENx 位） | - | 6.5 | 10 | μs |
| PSRR+ | 供电抑制比（相对于 V _{DDA} ）（静态直流测量） | - | -67 | -40 | dB |

4.2.19 温度传感器特性

表 4-24 温度传感器特性

| 符号 | 参数 | 条件 | 最小值 | 典型值 | 最大值 | 单位 |
|-----------------|----------|------|------|-------|------|-------|
| T _L | 传感器温度线性度 | - | | ±1 | ±2 | °C |
| V ₂₅ | 传感器输出电压 | 25°C | 0.76 | 0.909 | 0.94 | V |
| Avg_Slope | 平均斜率 | - | 2.9 | 3 | 3.1 | mV/°C |

5 典型电路

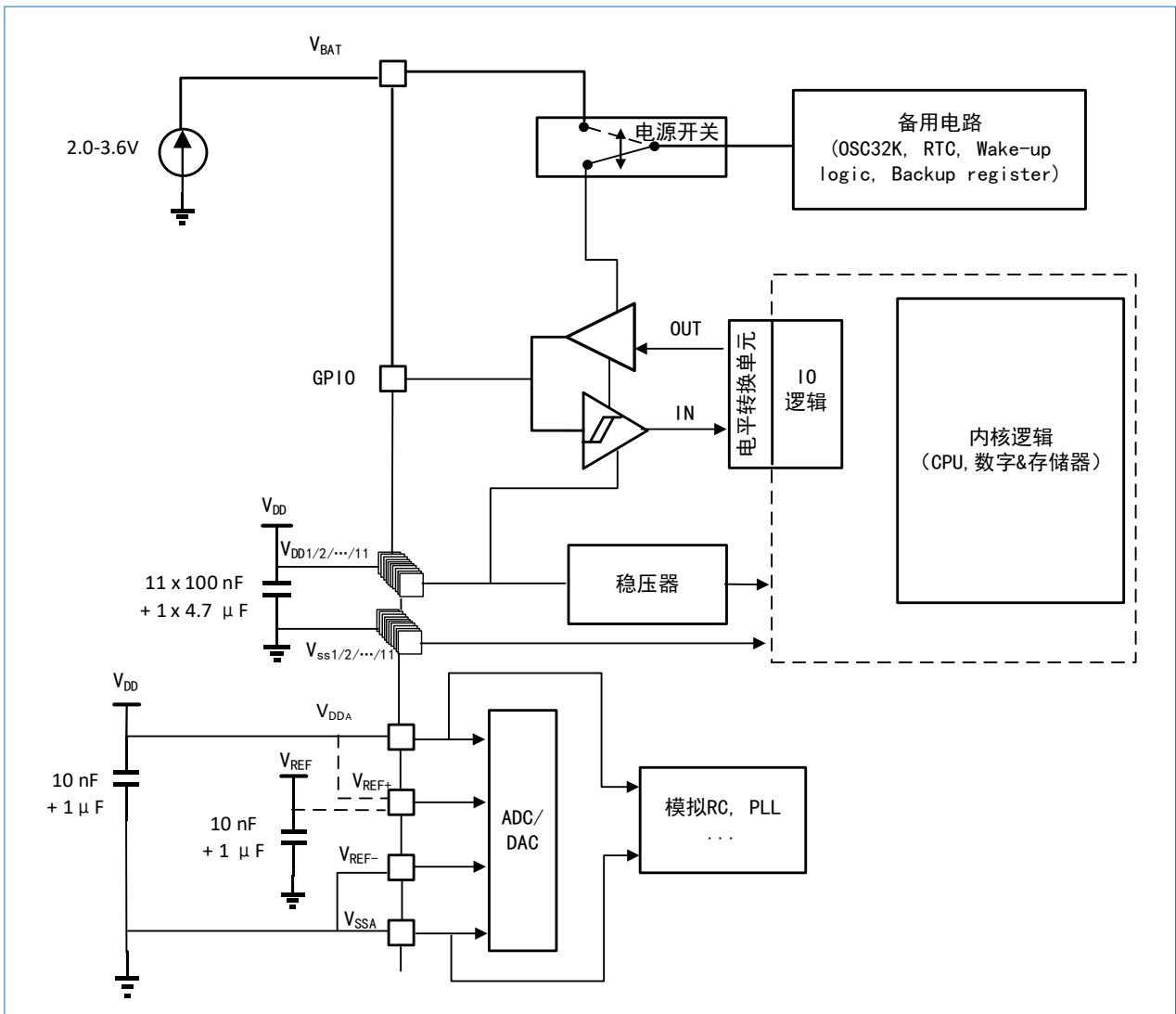


图 5-1 电源供电

6 管脚定义

HK32F39A 提供 LQFP64/LQFP100 两种封装，各封装的管脚定义如下。

6.1 LQFP64 封装

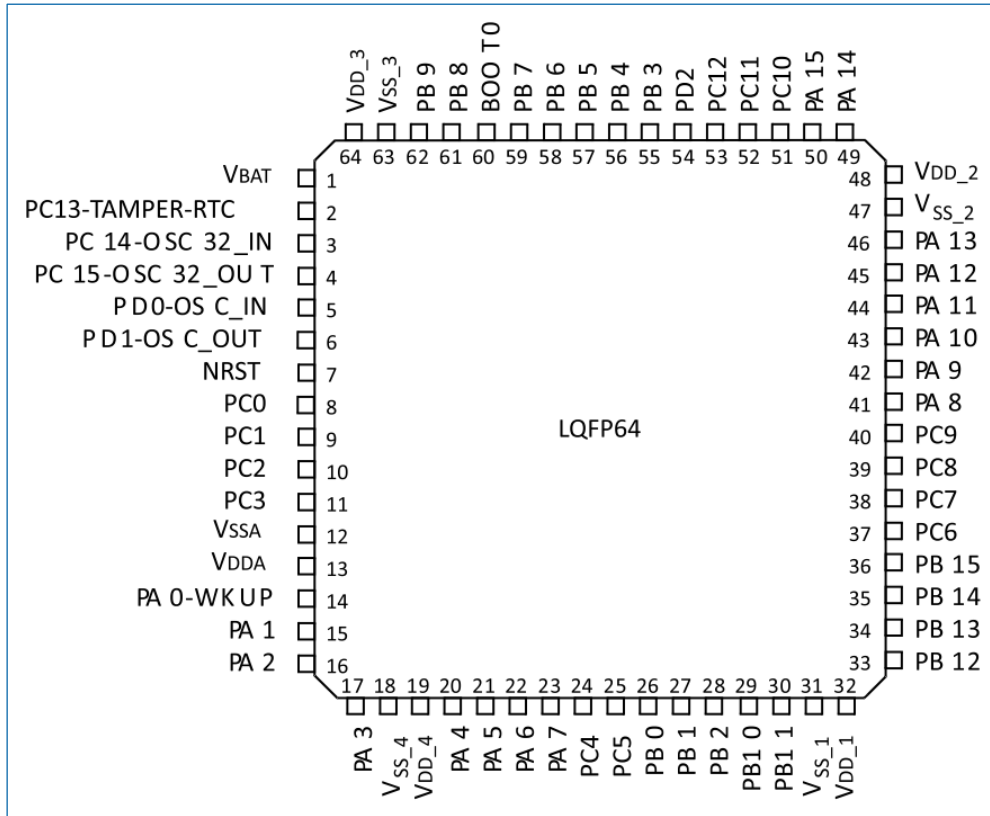


图 6-1 LQFP64 封装

6.2 LQFP100 封装

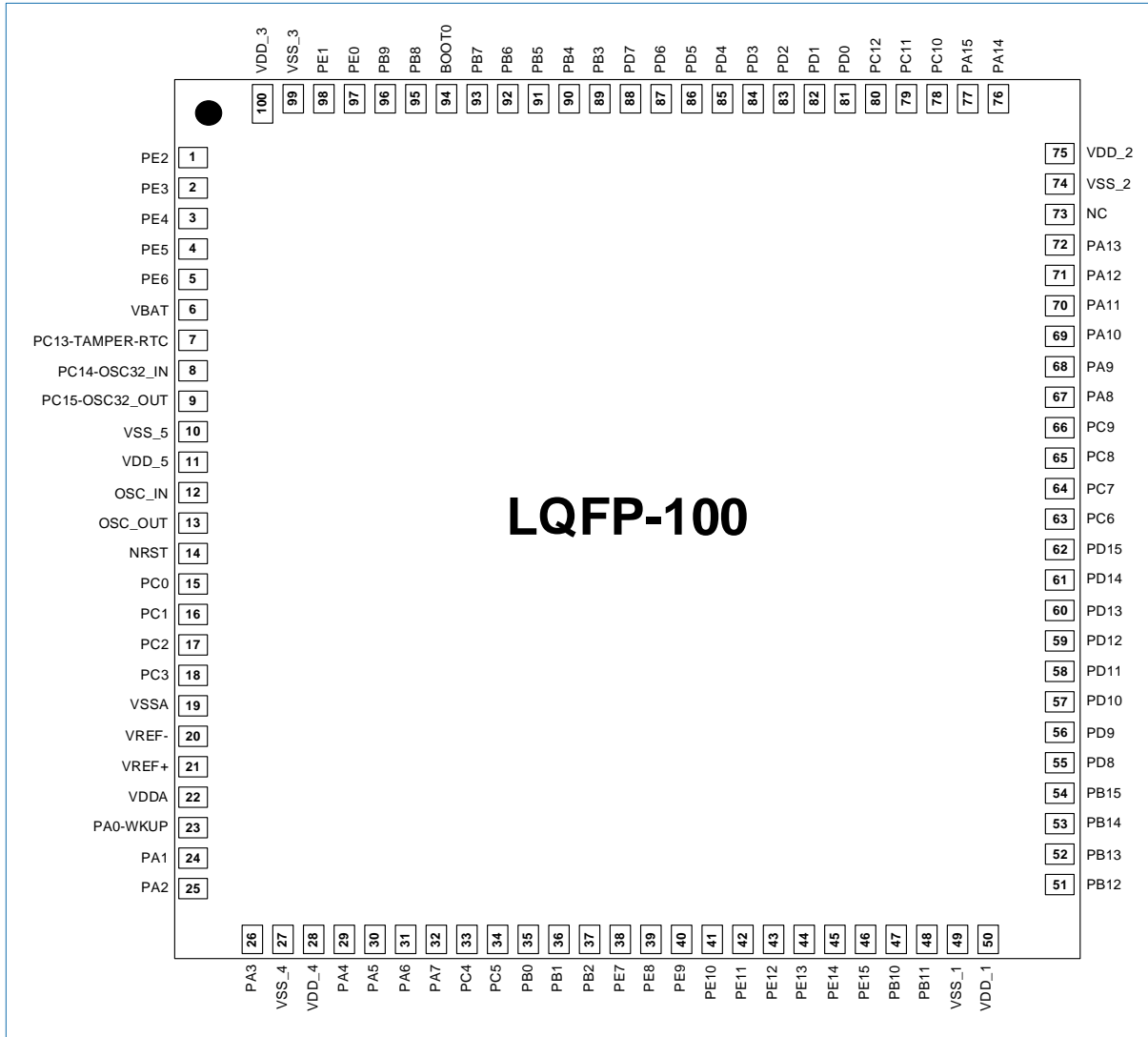


图 6-2 LQFP100 封装

6.3 LQFP64/LQFP100 的管脚定义

LQFP64/LQFP100 封装的管脚定义如下表所示。

表 6-1 LQFP64/LQFP100 封装管脚定义

| 引脚编号 | | 引脚名 | 类型 ⁽¹⁾ | 电平 ⁽²⁾ | 主功能 | 可选的复用功能 | |
|--------|---------|-----------------|--------------------|-------------------|------|------------------------------------|------------------------|
| LQFP64 | LQFP100 | | | | | 默认复用功能 | 重定义功能 |
| | 1 | PE2 | I/O | - | PE2 | TRACECKO/FSMC_A23/ADC2_IN17 | TXEV/EXTIN2/SAI_MCLK_A |
| | 2 | PE3 | I/O | - | PE3 | TRACED0/FSMC_A19/ADC2_IN18 | TXEV/EXTIN3 |
| | 3 | PE4 | I/O | - | PE4 | TRACED1/FSMC_A20/ADC3_IN17 | TXEV/EXTIN4/SAI_FS_A |
| | 4 | PE5 | I/O | - | PE5 | TRACED2/FSMC_A21/ADC3_IN18 | TXEV/EXTIN5/SAI_SCK_A |
| | 5 | PE6 | I/O | FT | PE6 | TRACED3/FSMC_A22 | TXEV/EXTIN6/SAI_SD_A |
| 1 | 6 | VBAT | S | - | VBAT | | |
| 2 | 7 | PC13-TAMPER-RTC | I/O ⁽³⁾ | - | PC13 | TAMPER-RTC/WKUP1/RTCO/QSPI_BK1_NCS | TXEV/EXTIN13 |

| 引脚编号 | | 引脚名 | 类型 (1) | 电平 (2) | 主功能 | 可选的复用功能 | |
|--------|---------|----------------|--------------------|-----------|---------|---|--------------------------------|
| LQFP64 | LQFP100 | | | | | 默认复用功能 | 重定义功能 |
| 3 | 8 | PC14-OSC32_IN | I/O ⁽³⁾ | - | PC14 | OSC32_IN/LSE_CK1 | TXEV/EXTIN14 |
| 4 | 9 | PC15-OSC32_OUT | I/O ⁽³⁾ | - | PC15 | OSC32_OUT | TXEV/EXTIN15 |
| | 10 | VSS_5 | S | - | VSS_5 | | |
| | 11 | VDD_5 | S | - | VDD_5 | | |
| 5 | 12 | OSC_IN | I/O ⁽⁴⁾ | - | OSC_IN | OSC_IN/HSE_CK1/ CAN1_RX2 ⁽⁵⁾ | TXEV/PD0/EXTIN0 ⁽⁵⁾ |
| 6 | 13 | OSC_OUT | I/O ⁽⁶⁾ | - | OSC_OUT | OSC_OUT/ CAN1_TX ⁽⁵⁾ | TXEV/PD1/EXTIN1 ⁽⁵⁾ |
| 7 | 14 | NRST | I/O | - | NRST | | |
| 8 | 15 | PC0 | I/O | - | PC0 | ADC123_IN10/DCMI_PIXCLK | TXEV/EXTIN0/FSMC_A13 |
| 9 | 16 | PC1 | I/O | - | PC1 | ADC123_IN11/DCMI_PIXDI13/ TFT_DEN1 | TXEV/EXTIN1 |
| 10 | 17 | PC2 | I/O | - | PC2 | ADC123_IN12/DCMI_PIXDI12/ TFT_VSYNC1 | TXEV/EXTIN2 |
| 11 | 18 | PC3 | I/O | - | PC3 | ADC123_IN13/DCMI_PIXDI11/ TFT_HSYNC1 | TXEV/EXTIN3 |
| 12 | 19 | VSSA | S | - | VSSA | | |
| | 20 | VREF- | S | - | VREF- | | |
| | 21 | VREF+ | S | - | VREF+ | | |
| 13 | 22 | VDDA | S | - | VDDA | | |
| 14 | 23 | PA0-WKUP | I/O ⁽³⁾ | - | PA0 | WKUP0/USART2_CTS/ADC123_IN0/ TIM2_CH1_ETR/TIM5_CH1/ TIM8_ETR/EXTIN0/DCMI_PIXDI10/ | TXEV/FSMC_NE4 |
| 15 | 24 | PA1 | I/O | - | PA1 | USART2_RTS/ADC123_IN1/ TIM5_CH2/TIM2_CH2/EXTIN1/ RCC_CK10/DCMI_PIXDI9 | TXEV/FSMC_A14 |
| 16 | 25 | PA2 | I/O | - | PA2 | USART2_TX/TIM5_CH3/ ADC123_IN2/TIM2_CH3/EXTIN2/ TFT_DCLK | TXEV |
| 17 | 26 | PA3 | I/O | - | PA3 | USART2_RX/TIM5_CH4/ ADC123_IN3/TIM2_CH4/EXTIN3/ DCMI_PIXDI8/SAI_MCLK_A | TXEV/FSMC_A15 |
| 18 | 27 | VSS_4 | S | - | VSS_4 | | |
| 19 | 28 | VDD_4 | S | - | VDD_4 | | |
| 20 | 29 | PA4 | I/O | - | PA4 | SPI1_NSS/USART2_CK/DAC1_OUT/ ADC12_IN4/EXTIN4/TFT_DEN2/ I2S1_WS/TIM5_ETR/SAI_FS_B | TXEV |
| 21 | 30 | PA5 | I/O | - | PA5 | SPI1_SCK/DAC2_OUT/ADC12_IN5/ EXTIN5/TFT_VSYNC2/I2S1_CK/ SAI_MCLK_B | TXEV |

| 引脚编号 | | 引脚名 | 类型 ⁽¹⁾ | 电平 ⁽²⁾ | 主功能 | 可选的复用功能 | |
|--------|---------|-------|--------------------|-------------------|-------|---|---|
| LQFP64 | LQFP100 | | | | | 默认复用功能 | 重定义功能 |
| 22 | 31 | PA6 | I/O | - | PA6 | SPI1_MISO/TIM8_BKIN/ADC12_IN6/ TIM3_CH1/EXTIN6/TFT_HSYNC2/ SAI_SCK_B | TXEV/TIM1_BKIN |
| 23 | 32 | PA7 | I/O | - | PA7 | SPI1_MOSI/TIM8_CH1N/ADC12_IN7/ TIM3_CH2/EXTIN7/DCMI_PIXDI7/ I2S1_SD/SAI_SD_B | TXEV/TIM1_CH1N/ FSMC_A0 |
| 24 | 33 | PC4 | I/O | - | PC4 | ADC12_IN14/DCMI_PIXDI6/ I2S1_MCK | TXEV/EXTIN4/FSMC_A1 |
| 25 | 34 | PC5 | I/O | - | PC5 | ADC12_IN15/DCMI_PIXDI5 | TXEV/EXTIN5/FSMC_A2 |
| 26 | 35 | PB0 | I/O ⁽³⁾ | - | PB0 | ADC12_IN8/TIM3_CH3/TIM8_CH2N/ WKUP2/DCMI_PIXDI4 | TXEV/TIM1_CH2N/EXTIN0/ FSMC_A3/CAN2_RX |
| 27 | 36 | PB1 | I/O | - | PB1 | ADC12_IN9/TIM3_CH4/TIM8_CH3N/ RCC_CK11/DCMI_PIXDI3 | TXEV/TIM1_CH3N/EXTIN1/ FSMC_A4/CAN2_TX |
| 28 | 37 | PB2 | I/O | FT | PB2 | BOOT1/QSPI_BK1_IO0/USART6_CK | TXEV/EXTIN2/FSMC_A5/ SAI_SD_A |
| | 38 | PE7 | I/O | FT | PE7 | FSMC_D4 | TXEV/TIM1_ETR/EXTIN7/ SAI_SD_B |
| | 39 | PE8 | I/O | FT | PE8 | FSMC_D5 | TXEV/TIM1_CH1N/EXTIN8/ SAI_SCK_B |
| | 40 | PE9 | I/O | FT | PE9 | FSMC_D6 | TXEV/TIM1_CH1/EXTIN9/ SAI_FS_B |
| | 41 | PE10 | I/O | FT | PE10 | FSMC_D7 | TXEV/TIM1_CH2N/EXTIN10/ SAI_MCLK_B |
| | 42 | PE11 | I/O | FT | PE11 | FSMC_D8 | TXEV/TIM1_CH2/EXTIN11 |
| | 43 | PE12 | I/O | FT | PE12 | FSMC_D9 | TXEV/TIM1_CH3N/EXTIN12 |
| | 44 | PE13 | I/O | FT | PE13 | FSMC_D10 | TXEV/TIM1_CH3/EXTIN13 |
| | 45 | PE14 | I/O | FT | PE14 | FSMC_D11 | TXEV/TIM1_CH4/EXTIN14 |
| | 46 | PE15 | I/O | FT | PE15 | FSMC_D12 | TXEV/TIM1_BKIN/EXTIN15 |
| 29 | 47 | PB10 | I/O | | PB10 | I2C2_SCL/USART3_TX/VC1_O | TXEV/TIM2_CH3/EXTIN10/ FSMC_INT2/SAI_SCK_A |
| 30 | 48 | PB11 | I/O | | PB11 | I2C2_SDA/USART3_RX/VC2_O | TXEV/TIM2_CH4/EXTIN11/ FSMC_INT3 |
| 31 | 49 | VSS_1 | S | | VSS_1 | | |
| 32 | 50 | VDD_1 | S | | VDD_1 | | |
| 33 | 51 | PB12 | I/O | FT | PB12 | SPI2_NSS/I2S2_WS/I2C2_SMBA/USA RT3_CK/TIM1_BKIN/DCMI_PIXDI2/ TFT_RST3/ADC3_IN16/CAN2_RX | TXEV/EXTIN12 |
| 34 | 52 | PB13 | I/O | FT | PB13 | SPI2_SCK/I2S2_CK/USART3_CTS/ TIM1_CH1N/DCMI_PIXDI1/ TFT_VSYNC3/CAN2_TX/USART6_TX | TXEV/EXTIN13 |
| 35 | 53 | PB14 | I/O | FT | PB14 | SPI2_MISO/TIM1_CH2N/ USART3_RTS/DCMI_PIXDI0/ TFT_HSYNC3/USART6_RX | TXEV/EXTIN14 |
| 36 | 54 | PB15 | I/O | FT | PB15 | SPI2_MOSI/I2S2_SD/TIM1_CH3N/ | TXEV/EXTIN15/FSMC_INTR |

| 引脚编号 | | 引脚名 | 类型 ⁽¹⁾ | 电平 ⁽²⁾ | 主功能 | 可选的复用功能 | |
|--------|---------|-------|-------------------|-------------------|----------------|--|--|
| LQFP64 | LQFP100 | | | | | 默认复用功能 | 重定义功能 |
| | | | | | | USART4_CK | |
| | 55 | PD8 | I/O | FT | PD8 | FSMC_D13 | TXEV/USART3_TX/EXTIN8 |
| | 56 | PD9 | I/O | FT | PD9 | FSMC_D14 | TXEV/USART3_RX/EXTIN9 |
| | 57 | PD10 | I/O | FT | PD10 | FSMC_D15 | TXEV/USART3_CK/EXTIN10 |
| | 58 | PD11 | I/O | FT | PD11 | FSMC_A16_CLE | TXEV/USART3_CTS/ EXTIN11 |
| | 59 | PD12 | I/O | FT | PD12 | FSMC_A17_ALE | TXEV/TIM4_CH1/ USART3_RTS/EXTIN12 |
| | 60 | PD13 | I/O | FT | PD13 | FSMC_A18 | TXEV/TIM4_CH2/EXTIN13 |
| | 61 | PD14 | I/O | FT | PD14 | FSMC_D0 | TXEV/TIM4_CH3/EXTIN14 |
| | 62 | PD15 | I/O | FT | PD15 | FSMC_D1 | TXEV/TIM4_CH4/EXTIN15 |
| 37 | 63 | PC6 | I/O | FT | PC6 | I2S2_MCK/TIM8_CH1/SDIO_D6 USART4_CTS | TXEV/TIM3_CH1/EXTIN6/ FSMC_A6 |
| 38 | 64 | PC7 | I/O | FT | PC7 | I2S3_MCK/TIM8_CH2/SDIO_D7 RCC_CK12/USART4_RTS | TXEV/TIM3_CH2/EXTIN7/ FSMC_A7 |
| 39 | 65 | PC8 | I/O | FT | PC8 | TIM8_CH3/SDIO_D0 | TXEV/TIM3_CH3/EXTIN8/ FSMC_A8/USART1_CTS/ USART5_TX |
| 40 | 66 | PC9 | I/O | FT | PC9 | TIM8_CH4/SDIO_D1 | TXEV/TIM3_CH4/EXTIN9/ FSMC_A9/USART1_RTS/ USART5_RX |
| 41 | 67 | PA8 | I/O | FT | PA8 | USART1_CK/TIM1_CH1/MCO/ EXTIN8/QSPI_BK1_IO1/SAI_SCK_A | TXEV/FSMC_A10 |
| 42 | 68 | PA9 | I/O | FT | PA9 | USART1_TX/TIM1_CH2/EXTIN9/ QSPI_BK1_IO2/SAI_FS_A | TXEV/FSMC_A11 |
| 43 | 69 | PA10 | I/O | FT | PA10 | USART1_RX/TIM1_CH3/EXTIN10 QSPI_BK1_IO3/SAI_SD_A | TXEV/FSMC_A12 |
| 44 | 70 | PA11 | I/O | FT | PA11 | USART1_CTS/USBDM/CAN1_RX/ TIM1_CH4/EXTIN11/DCMI_VSYNC | TXEV |
| 45 | 71 | PA12 | I/O | FT | PA12 | USART1_RTS/USBDM/CAN1_TX/ TIM1_ETR/EXTIN12/DCMI_HSYNC | TXEV |
| 46 | 72 | PA13 | I/O | FT | JTMS- SWDIO | USART6_CTS | PA13/TXEV/DCMI_VSYNC FSMC_NIORD |
| | 73 | NC | | | | | |
| 47 | 74 | VSS_2 | S | | VSS_2 | | |
| 48 | 75 | VDD_2 | S | | VDD_2 | | |
| 49 | 76 | PA14 | I/O | FT | JTCK- SWCLK | EXTIN14/DCMI_HSYNC/USART5_CK | PA14/TXEV/FSMC_NIOWR USART2_CTS/I2C1_SMBA |
| 50 | 77 | PA15 | I/O | FT | JTDI | SPI3_NSS/I2S3_WS/EXTIN15/ QSPI_CK0/USART6_RTS/I2S1_WS | TXEV/TIM2_CH1_ETR/PA15 /SPI1_NSS/FSMC_NREG/ USART2_RTS |
| 51 | 78 | PC10 | I/O | | PC10 | USART4_TX/SDIO_D2/VC1_N | TXEV/USART3_TX/EXTIN10/ FSMC_A24/USART2_TX |

| 引脚编号 | | 引脚名 | 类型 (1) | 电平 (2) | 主功能 | 可选的复用功能 | |
|--------|---------|-------|-----------|-----------|--------|--|---|
| LQFP64 | LQFP100 | | | | | 默认复用功能 | 重定义功能 |
| 52 | 79 | PC11 | I/O | | PC11 | USART4_RX/SDIO_D3/VC1_P | TXEV/USART3_RX/EXTIN11/ FSMC_A25/USART2_RX |
| 53 | 80 | PC12 | I/O | | PC12 | USART5_TX/SDIO_CK/VC2_N | TXEV/USART3_CK/EXTIN12/ FSMC_NE2_NCE3/ USART2_CK |
| | 81 | PD0 | I/O | FT | PD0 | FSMC_D2 | TXEV/CAN1_RX/EXTIN0 |
| | 82 | PD1 | I/O | FT | PD1 | FSMC_D3 | TXEV/CAN1_TX/EXTIN1 |
| 54 | 83 | PD2 | I/O | | PD2 | TIM3_ETR/USART5_RX/SDIO_CMD/ VC2_P | TXEV/EXTIN2 FSMC_NE3_NCE4_1 |
| | 84 | PD3 | I/O | FT | PD3 | FSMC_CLK/USART5_CTS | TXEV/USART2_CTS/EXTIN3/ SPI3_NSS/I2S3_WS |
| | 85 | PD4 | I/O | FT | PD4 | FSMC_NOE/USART5_RTS | TXEV/USART2_RTS/EXTIN4/ SPI3_SCK/I2S3_CK |
| | 86 | PD5 | I/O | FT | PD5 | FSMC_NWE | TXEV/USART2_TX/EXTIN5/ SPI3_MISO |
| | 87 | PD6 | I/O | FT | PD6 | FSMC_NWAIT | TXEV/USART2_RX/EXTIN6/ SPI3_MOSI/I2S3_SD |
| | 88 | PD7 | I/O | FT | PD7 | FSMC_NE1/FSMC_NCE2 | TXEV/USART2_CK/EXTIN7/ |
| 55 | 89 | PB3 | I/O | | JTDO | SPI3_SCK/I2S3_CK/TFT_RST4/QSPI_ BK2_NCS/ADC3_IN5/VC3_N | TXEV/PB3/TIM2_CH2/SPI1_ SCK/EXTIN3/ DCMI_PIXDI13/I2S1_CK/ SAI_SCK_B |
| 56 | 90 | PB4 | I/O | | NJTRST | SPI3_MISO/TFT_VSYNC4/ QSPI_BK2_IO0/ADC3_IN6/VC3_P | TXEV/PB4/TIM3_CH1/SPI1_ MISO/EXTIN4/ DCMI_PIXDI12/ SAI_MCLK_B |
| 57 | 91 | PB5 | I/O | | PB5 | I2C1_SMBA/SPI3_MOSI/I2S3_SD/ TFT_VSYNC4/QSPI_BK2_IO1/ ADC3_IN7/VC4_N | TXEV/TIM3_CH2/SPI1_MOS I/EXTIN5/DCMI_PIXDI11/ CAN2_RX/I2S1_SD/ SAI_SD_B |
| 58 | 92 | PB6 | I/O | | PB6 | I2C1_SCL/TIM4_CH1/ QSPI_BK2_IO2/ADC3_IN8/VC4_P | TXEV/USART1_TX/EXTIN6 DCMI_PIXDI10/ FSMC_NCE4_2/CAN2_TX/ I2S1_MCK/SAI_FS_B |
| 59 | 93 | PB7 | I/O | FT | PB7 | I2C1_SDA/FSMC_NADV/TIM4_CH2/ RCC_CK13/QSPI_BK2_IO3 | TXEV/USART1_RX/EXTIN7 |
| 60 | 94 | BOOT0 | I | | BOOT0 | | |
| 61 | 95 | PB8 | I/O | | PB8 | TIM4_CH3/SDIO_D4/VC3_O | TXEV/I2C1_SCL/CAN1_RX/E XTIN8/FSMC_CD/ USART4_TX/SAI_MCLK_A |
| 62 | 96 | PB9 | I/O | | PB9 | TIM4_CH4/SDIO_D5/VC4_O | USART4_RX/TXEV/ I2C1_SDA/CAN1_TX/ EXTIN9/SAI_FS_A |
| | 97 | PE0 | I/O | FT | PE0 | TIM4_ETR/FSMC_NBL0 | TXEV/EXTIN0 |
| | 98 | PE1 | I/O | FT | PE1 | FSMC_NBL1 | TXEV/EXTIN1 |

| 引脚编号 | | 引脚名 | 类型 (1) | 电平 (2) | 主功能 | 可选的复用功能 | |
|--------|---------|-------|-----------|-----------|-------|---------|-------|
| LQFP64 | LQFP100 | | | | | 默认复用功能 | 重定义功能 |
| 63 | 99 | VSS_3 | S | | VSS_3 | | |
| 64 | 100 | VDD_3 | S | | VDD_3 | | |

- (1). I = input, O=output, I/O= input/output, S= power supply。
- (2). FT: 5V 容限输入。
- (3). 该标记的 IO 不具有 Schmitt 功能, 除了这些 IO, 其余 IO 都具有 Schmitt 功能, 可通过寄存器配置。
- (4). LQFP64 封装引脚类型为“I/O”, LQFP100 封装引脚类型为“I”。
- (5). 仅 LQFP64 封装支持此复用功能。
- (6). LQFP64 封装引脚类型为“I/O”, LQFP100 封装引脚类型为“O”。

6.4 OSC_IN/OSC_OUT 复用功能说明

表 6-2 OSC_IN/OSC_OUT 复用功能 (LQFP64 封装)

| LQFP64 | 引脚名 | 类型 | 主功能 | 默认复用功能 | 重定义功能 |
|---|---------------|----|---------|---------------------------|--------------------|
| Pin5 | OSC_IN | IO | OSC_IN | OSC_IN/HSE_CKI CAN1_RX | TXEV/PD0 EXTIN0 |
| Pin6 | OSC_OUT UT | IO | OSC_OUT | OSC_OUT CAN1_TX | TXEV/PD1 EXTIN1 |
| Pin5/Pin6: 上电默认是 OSC_IN/OSC_OUT 功能, 可通过软件重定义为 PD0/PD1 功能, 也可配置为其他可选的复用功能。 | | | | | |

表 6-3 OSC_IN/OSC_OUT 复用功能 (LQFP100 封装)

| LQFP100 | 引脚名 | 类型 | 主功能 | 默认复用功能 | 重定义功能 |
|---|---------------|----|---------|----------------|-------|
| Pin12 | OSC_IN | I | OSC_IN | OSC_IN/HSE_CKI | - |
| Pin13 | OSC_OUT UT | O | OSC_OUT | OSC_OUT | - |
| Pin12/Pin13: 上电默认是 OSC_IN/OSC_OUT 功能, 可以软件配置为 HSE_CKI 功能。 | | | | | |
| Pin81/Pin82: 上电默认是 PD0/PD1, 可以配置为其他可选的复用功能。 | | | | | |

7 封装参数

7.1 LQFP64 封装

LQFP64 为 10 x 10mm，0.5mm 间距，64 脚低剖面方形扁平封装。

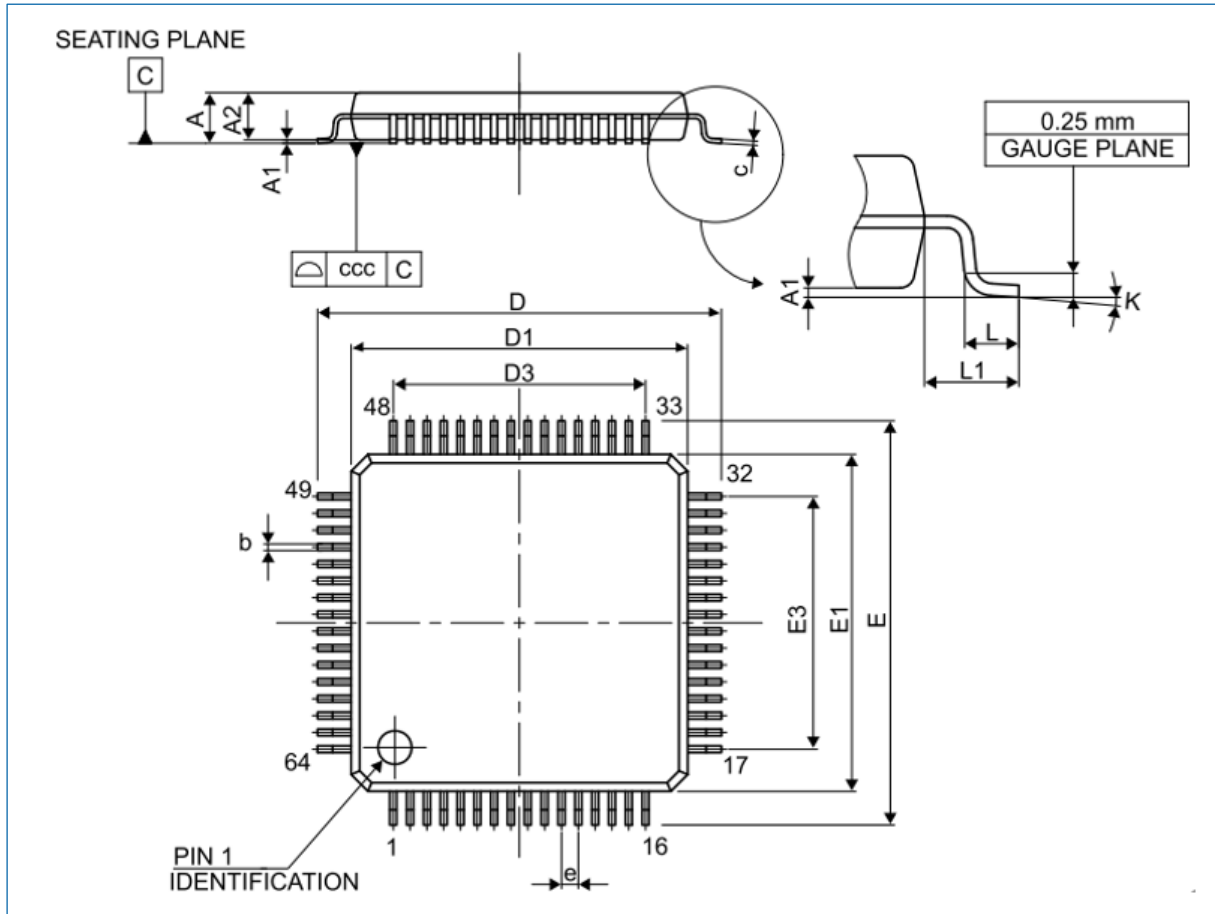


图 7-1 LQFP64 封装尺寸

表 7-1 LQFP64 封装参数

| 符号 | 单位: mm | | | 单位: inches ⁽¹⁾ | | |
|----|--------|--------|-------|---------------------------|--------|--------|
| | 最小值 | 典型值 | 最大值 | 最小值 | 典型值 | 最大值 |
| A | - | - | 1.600 | - | - | 0.0630 |
| A1 | 0.050 | - | 0.150 | 0.0020 | - | 0.0059 |
| A2 | 1.350 | 1.400 | 1.450 | 0.0531 | 0.0551 | 0.0571 |
| b | 0.170 | 0.220 | 0.270 | 0.0067 | 0.0087 | 0.0106 |
| c | 0.090 | - | 0.200 | 0.0035 | - | 0.0079 |
| D | - | 12.000 | - | - | 0.4724 | - |
| D1 | - | 10.000 | - | - | 0.3937 | - |
| D3 | - | 7.500 | - | - | 0.2953 | - |
| E | - | 12.000 | - | - | 0.4724 | - |
| E1 | - | 10.000 | - | - | 0.3937 | - |
| E3 | - | 7.5000 | - | - | 0.2953 | - |
| e | - | 0.500 | - | - | 0.0197 | - |
| K | 0° | 3.5° | 7° | 0° | 3.5° | 7° |

| 符号 | 单位: mm | | | 单位: inches ⁽¹⁾ | | |
|-----|--------|-------|-------|---------------------------|--------|--------|
| | 最小值 | 典型值 | 最大值 | 最小值 | 典型值 | 最大值 |
| L | 0.450 | 0.600 | 0.750 | 0.0177 | 0.0236 | 0.0295 |
| L1 | - | 1.000 | - | - | 0.0394 | - |
| ccc | - | - | 0.080 | - | - | 0.0031 |

(1). 英寸为单位的数值是从对应的毫米数值转化得到，并保留至小数点后 4 位。

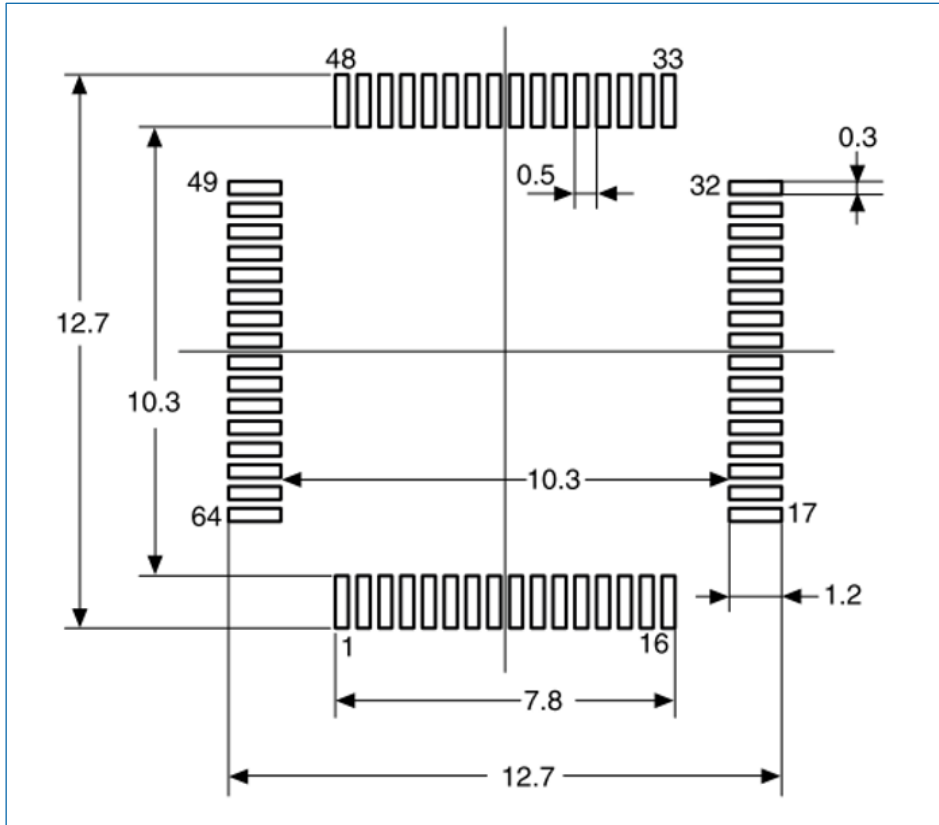


图 7-2 LQFP64 PCB 元件尺寸

说明：图 7-2 中所标注尺寸的单位为毫米（mm）。

7.2 LQFP100 封装

LQFP100 为 14 x 14mm，0.5mm 间距，100 脚低剖面方形扁平封装。

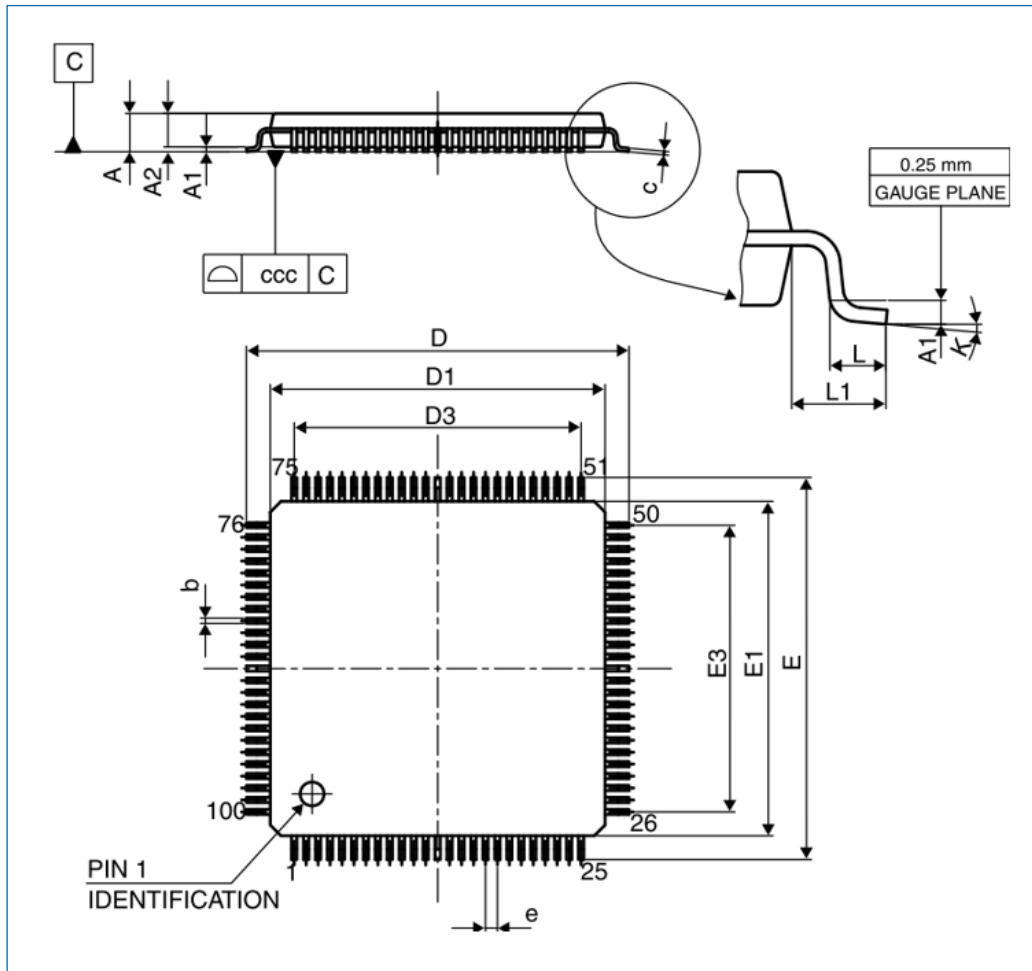


图 7-3 LQFP100 封装尺寸

表 7-2 LQFP100 封装参数

| 符号 | 单位: mm | | | Inches ⁽¹⁾ | | |
|-----|--------|--------|--------|-----------------------|--------|--------|
| | 最小值 | 典型值 | 最大值 | 最小值 | 典型值 | 最大值 |
| A | - | - | 1.600 | - | - | 0.0630 |
| A1 | 0.050 | - | 0.150 | 0.0020 | - | 0.0059 |
| A2 | 1.350 | 1.400 | 1.450 | 0.0531 | 0.0551 | 0.0571 |
| b | 0.170 | 0.220 | 0.270 | 0.0067 | 0.0087 | 0.0106 |
| c | 0.090 | - | 0.200 | 0.0035 | - | 0.0079 |
| D | 15.800 | 16.000 | 16.200 | 0.6220 | 0.6299 | 0.6378 |
| D1 | 13.800 | 14.000 | 14.200 | 0.5433 | 0.5512 | 0.5591 |
| D3 | - | 12.000 | - | - | 0.4724 | - |
| E | 15.800 | 16.000 | 16.200 | 0.6220 | 0.6299 | 0.6378 |
| E1 | 13.800 | 14.000 | 14.200 | 0.5433 | 0.5512 | 0.5591 |
| E3 | - | 12.000 | - | - | 0.4724 | - |
| e | - | 0.500 | - | - | 0.0197 | - |
| L | 0.450 | 0.600 | 0.750 | 0.0177 | 0.0236 | 0.0295 |
| L1 | - | 1.000 | - | - | 0.0394 | - |
| k | 0° | 3.5° | 7° | 0° | 3.5° | 7° |
| ccc | - | - | 0.080 | - | - | 0.0031 |

(1). 英寸为单位的数值是从对应的毫米数值转化得到，并保留至小数点后 4 位。

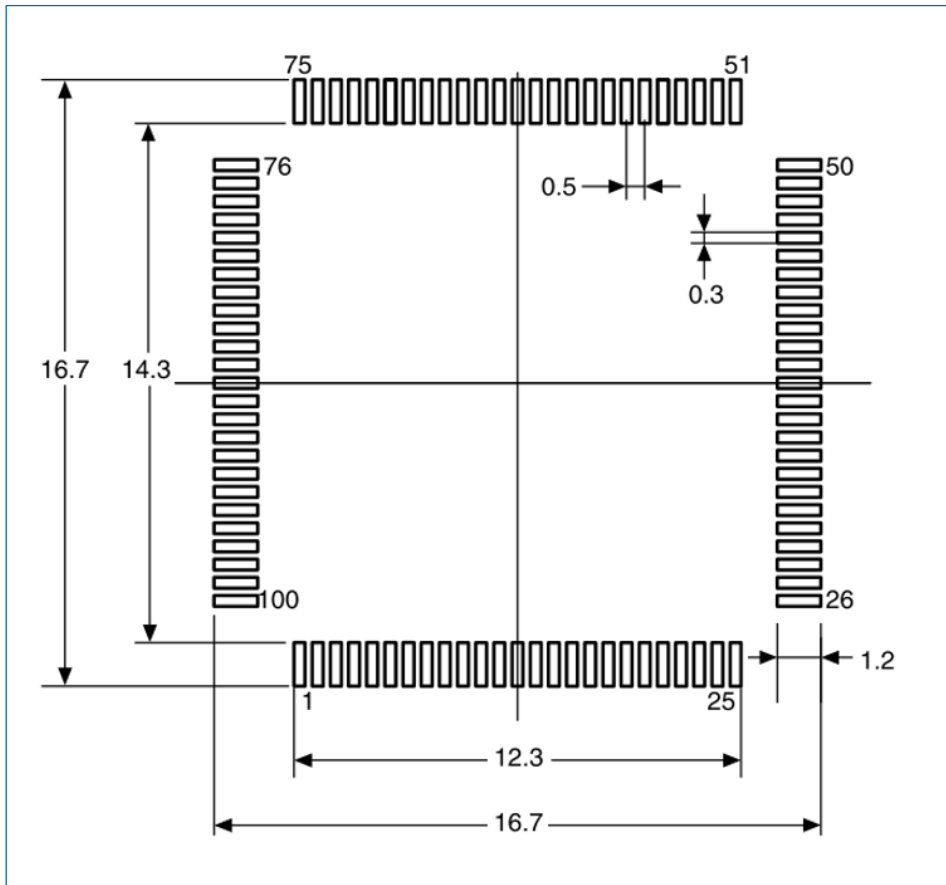


图 7-4 LQFP100 PCB 元件尺寸

说明：图 7-4 中所标注尺寸的单位为毫米（mm）。

8 订货信息

表 8-1 产品订货包装

| 具体型号 | 包装 | 备注 |
|--------------|------------|----|
| HK32F39ARCT6 | 卷带或 Tray 盘 | - |
| HK32F39ARDT6 | 卷带或 Tray 盘 | - |
| HK32F39ARET6 | 卷带或 Tray 盘 | - |
| HK32F39AVCT6 | 卷带或 Tray 盘 | - |
| HK32F39AVDT6 | 卷带或 Tray 盘 | - |
| HK32F39AVET6 | 卷带或 Tray 盘 | - |

9 缩略语

| 缩写 | 全称 | 中文描述 |
|------|---|-------------|
| ADC | Analog-To-Digital Converter | 模拟数字转换器 |
| AES | Advanced Encryption Standard | 高级加密标准 |
| AHB | Advanced High-Performance Bus | 高级高性能总线 |
| APB | Advanced Peripheral Bus | 外围总线 |
| CAN | Controller Area Network | 控制器局域网络 |
| CRC | Cyclic Redundancy Check | 循环冗余校验码 |
| DAC | Digital-To-Analog Converter | 数字模拟转换器 |
| DCMI | Digital Camera Memory Interface | 数字相机接口 |
| DMA | Direct Memory Access | 直接存储器访问 |
| EXTI | Extended Interrupts and Events Controller | 中断和事件控制器 |
| FM | Fast Mode | 全速模式 |
| GPIO | General Purpose Input Output | 通用输入输出 |
| HSE | High Speed External (Clock Signal) | 高速外部 (时钟信号) |
| I2C | Inter-Integrated Circuit | I2C 总线 |
| I2S | Inter-IC Sound | I2S 总线 |
| IWDG | Independent Watchdog | 独立看门狗 |
| LSB | Least Significant Bit | 最低有效位 |
| LSE | Low-Speed External (Clock Signal) | 低速外部 (时钟信号) |
| LSI | Low-Speed Internal (Clock Signal) | 低速内部 (时钟信号) |
| LVD | Low Voltage Detect | 低电压检测 |
| MCU | Microcontroller Unit | 微控制单元 |
| MSB | Most Significant Bit | 最高有效位 |
| MSPS | Million Samples Per Second | 每秒百万次采样 |
| NVIC | Nested Vectored Interrupt Controller | 嵌套矢量中断控制器 |
| PDR | Power-Down Reset | 掉电复位 |
| PLL | Phase Locked Loop | 锁相环 |
| POR | Power-On Reset | 上电复位 |
| PVD | Power Voltage Detect | 电压检测 |
| PWM | Pulse Width Modulation | 脉宽调制 |
| QSPI | Queued Serial Peripheral Interface | 队列串行外围接口 |
| RCC | Reset and Clock Control | 复位时钟控制 |
| RISC | Reduced Instruction Set Computing | 精简指令集计算机 |
| RTC | Real Time Clock | 实时时钟 |
| SAI | Serial Audio Interface | 串行音频接口 |
| SDIO | Secure Digital Input and Output | 安全数字输入输出接口 |
| SPI | Serial Peripheral Interface | 串行外设接口 |
| SWD | Serial Wire Debug | 串行线调试 |
| TRNG | True Random Number Generator | 真随机数生成器 |

| 缩写 | 全称 | 中文描述 |
|-------|---|------------|
| USART | Universal Synchronous Asynchronous Receiver Transmitter | 通用同步/异步收发器 |
| WWDG | Window Watchdog | 窗口看门狗 |

10 重要提示



航顺芯片和其他航顺商标均为深圳市航顺芯片技术研发有限公司的商标。本文档提及的其他商标或注册商标，由各自的所有人持有。

在未经深圳市航顺芯片技术研发有限公司同意下，不得以任何形式或途径修改本公司产品规格和数据表中的任何部分以及子部份。深圳市航顺芯片技术研发有限公司在以下方面保留权利：修改数据单和/或产品、停产任一产品或者终止服务不做通知；建议顾客获取最新版本的相关信息，在下定订单前进行核实以确保信息的及时性和完整性。所有的产品都依据订单确认时所提供的销售合同条款出售，条款内容包括保修范围、知识产权和责任范围。

深圳市航顺芯片技术研发有限公司保证在销售期间，产品的性能按照本公司的标准保修。公司认为有必要维持此项保修，会使用测试和其他质量控制技术。除了政府强制规定外，其他仪器的测量表没有必要进行特殊测试。

顾客认可本公司的产品的设计、生产的目的是不涉及与生命保障相关或者用于其他危险的活动或者环境的其他系统或产品中。出现故障的产品会导致人身伤亡、财产或环境的损伤（统称高危活动）。人为在 高危活动中使用本公司产品，本公司据此不作保修，并且不对顾客或者第三方负有责任。

深圳市航顺芯片技术研发有限公司将会提供与现在一样的技术支持、帮助、建议和信 息，（全部包括关于购买的电路板或其他应用程序的设计，开发或调试）。特此声明，对于所有的技术支持、可销性或针对特定用途，及在支持技术无误下，电路板和其他应用程序可以操作或运行的，本公司将不作任何有关此类支持技术的担保，并对您在使用这项支持服务不负任何法律责任。

所有版权©深圳市航顺芯片技术研发有限公司 2015-2022

深圳市航顺芯片技术研发有限公司

联系电话：0755-83247667

网址：www.hsxp-hk.com